

ねじれ振り子型重力波望遠鏡

TOBAの開発(24):

低温ねじれ振り子の運転および改良計画

高野 哲, 下田 智文^A, Ooi Ching Pin, 有富 尚紀, 道村 唯太,

正田 亜八香^B, 安東 正樹

東大理, 産総研^A, 国立天文台^B

概要

- ・ねじれ振り子型重力波望遠鏡TOBAの開発を行い、0.1 Hz帯の重力波の検出を目指している
- ・Phase-IIIと呼ばれるプロトタイプに向けて、低温懸架系を開発中
- ・4 Kにおける運転に成功
- ・迷光、ビームジッター、磁場雑音が支配的
- ・これらの問題を解決するプロトタイプの設計

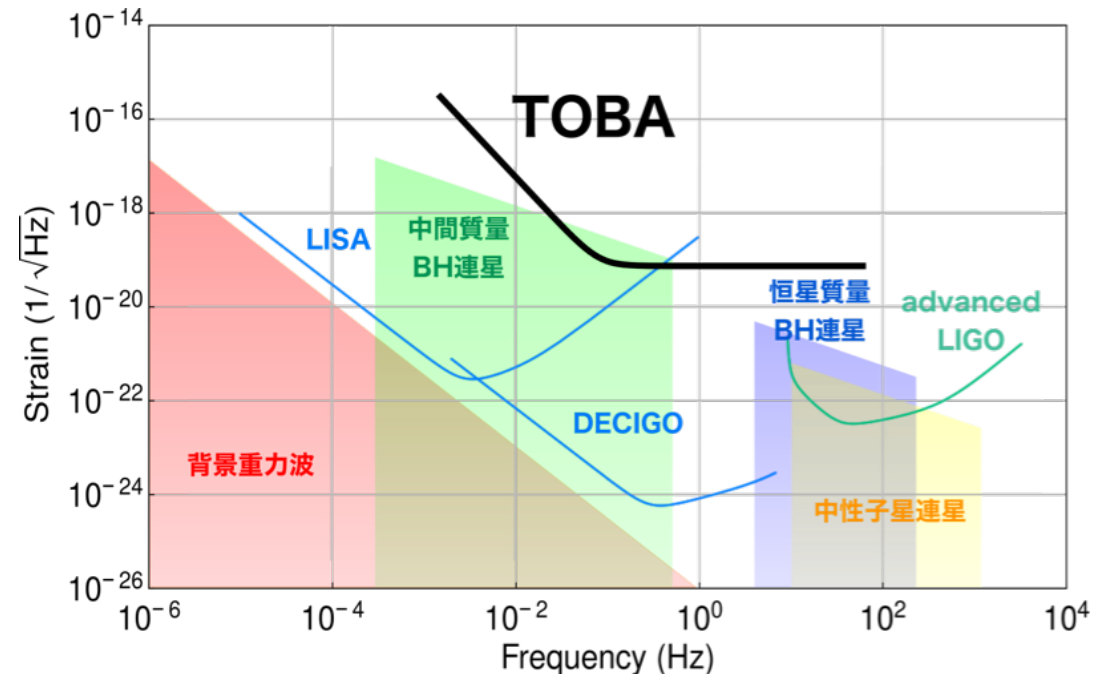
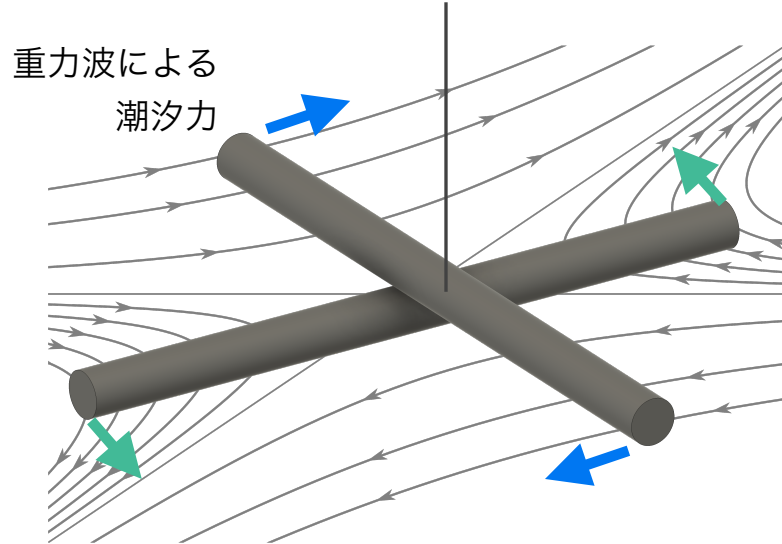
Contents

- TOBAについて
 - ▶ Overview
 - ▶ Phase-III TOBA
- 低温懸架系の現状
- 改良案
- まとめ, 今後の展望

ねじれ振り子型重力波望遠鏡TOBA

ねじれ振り子型重力波望遠鏡TOBA (TOrsion Bar Antenna)

- 水平に懸架した棒状マスのねじれ回転を検出
- 共振周波数~数mHz → 0.1-10Hzの低周波重力波の地上観測が可能
- 地上で観測可能(宇宙に打ち上げる必要がない) → 低コスト
- 目標: 10mスケールで $h \sim 10^{-19} / \sqrt{\text{Hz}} @ 0.1 \text{ Hz}$

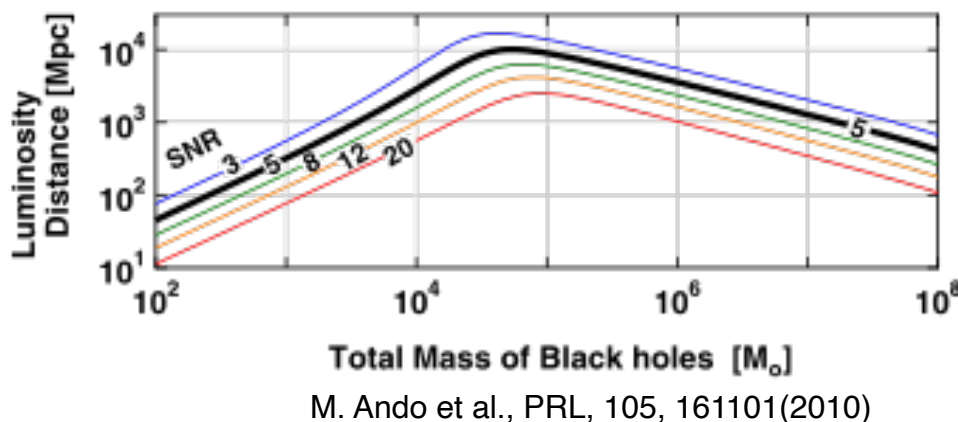


TOBAのサイエンス

天文学的観測

= 低周波(~0.1 Hz)の重力波

- 中間質量BH連星の合体
 - 大質量BH形成過程の解明

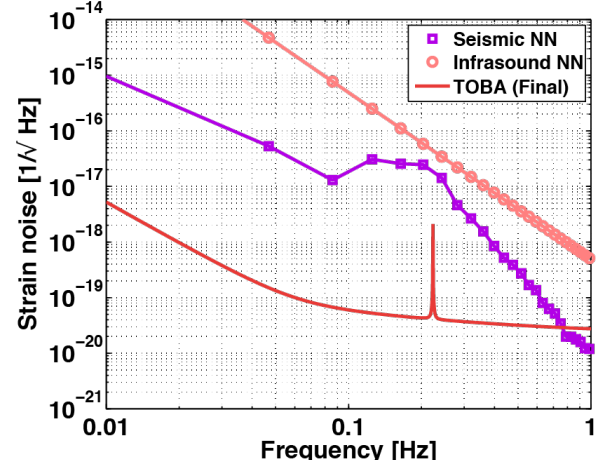


- 背景重力波探査
 - 初期宇宙の直接探査

地球物理学的応用

= 重力偏差計としての活用

- Newtonian Noise
 - モデル検証
 - 第3世代レーザー干渉計のR&D



- 地震の即時アラート
 - 社会、産業への貢献

研究計画



現在: Phase-III TOBAの開発

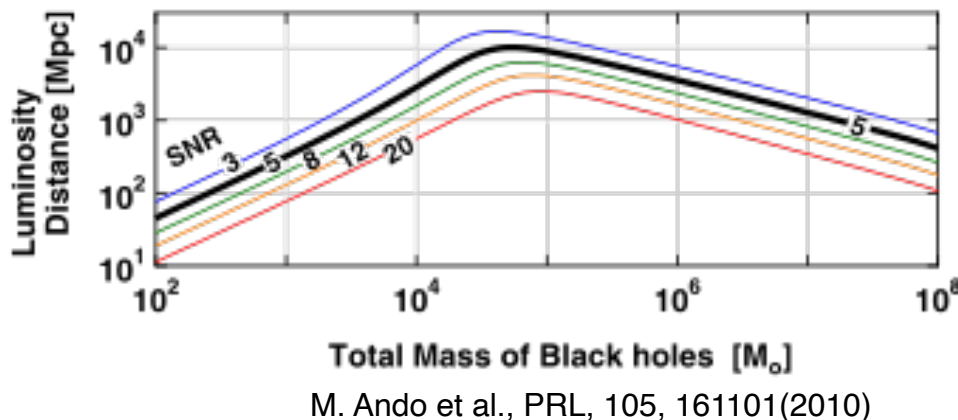
- 低温ねじれ振り子の実証
- 障害となる雑音源の特定と低減

TOBAのサイエンス

天文学的観測

= 低周波(~0.1 Hz)の重力波

- 中間質量BH連星の合体
 - ▶ $10^5 M_\odot$, 1 Mpc以内のイベント

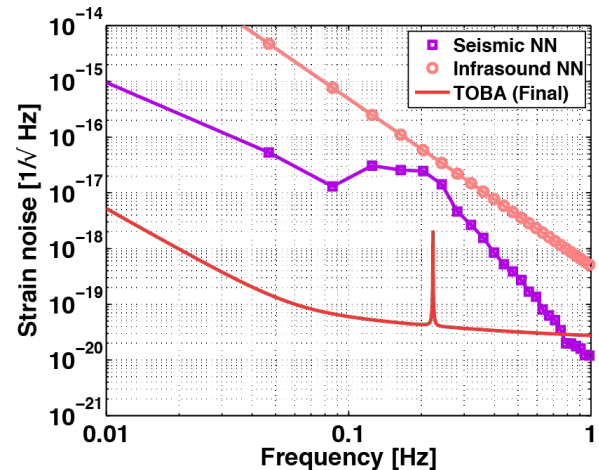


- 背景重力波探査
 - ▶ 初期宇宙の直接探査

地球物理学的応用

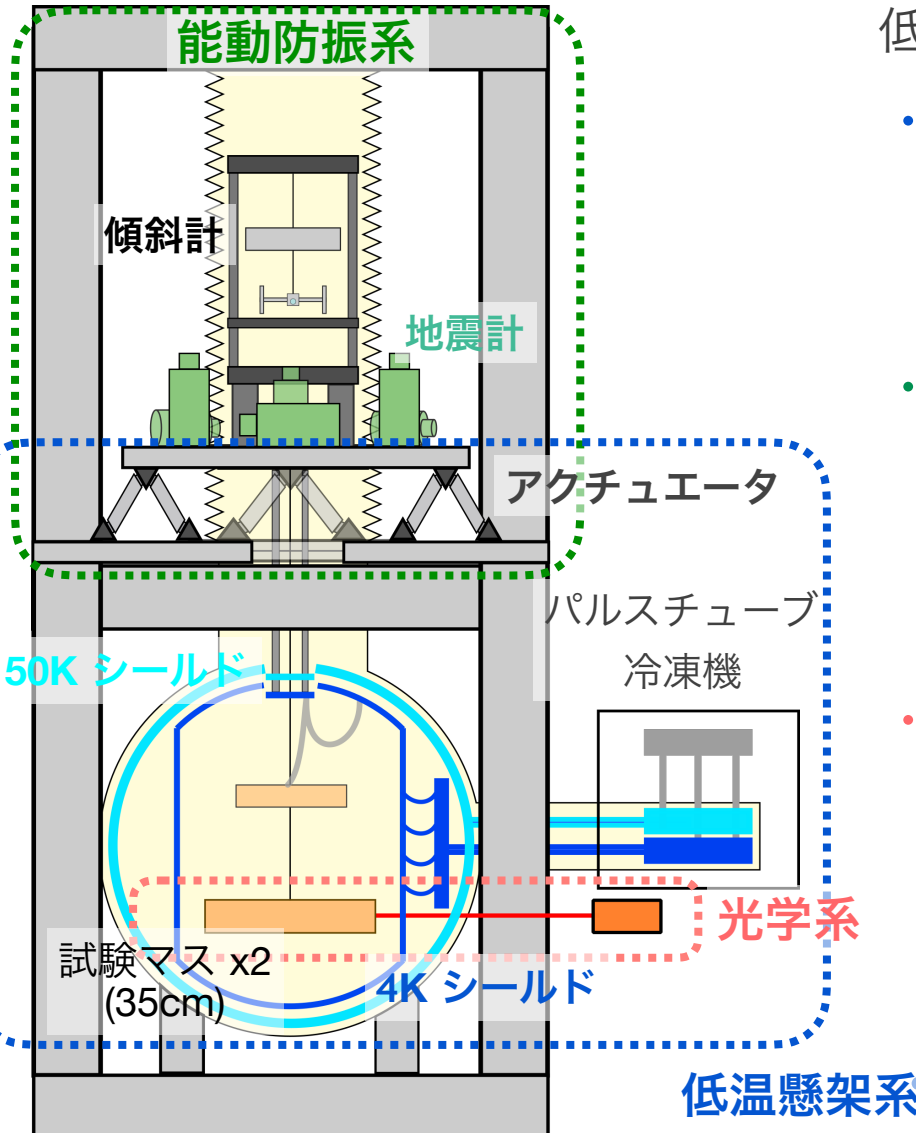
= 重力偏差計としての活用

- Newtonian Noise
 - ▶ モデル検証, 低減実証



- 地震の即時アラート
 - ▶ M7.0の地震を 100 km先まで 10 秒以内

Phase-III TOBAの構成



低温系でのねじれ振り子の実証

- **低温懸架系**

- ▶ 2段ねじれ振り子, 35 cm 試験マスx2
- ▶ **50 K**と**4 K**の2つの輻射シールド

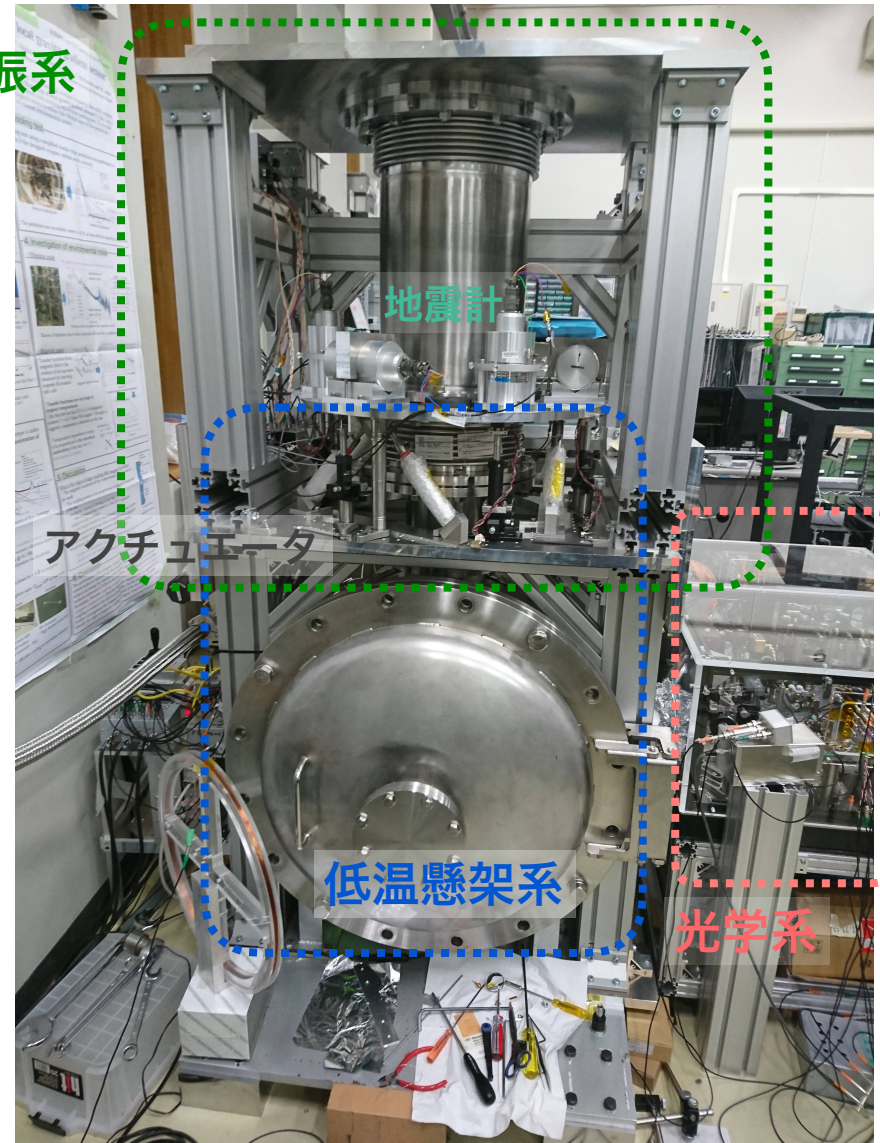
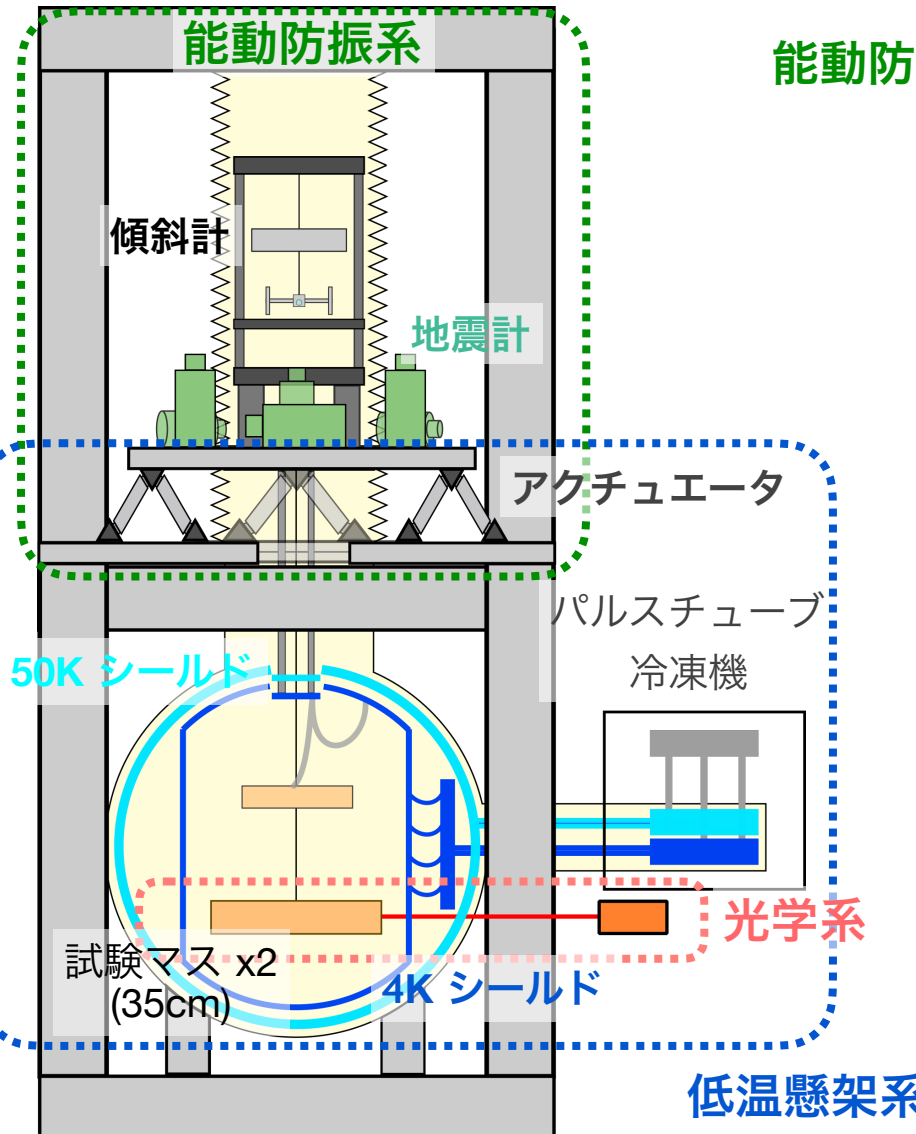
- **能動防振系**

- ▶ 地震計とピエゾアクチュエータによる
フィードバック制御系
- ▶ 角度変動を読む**傾斜計**

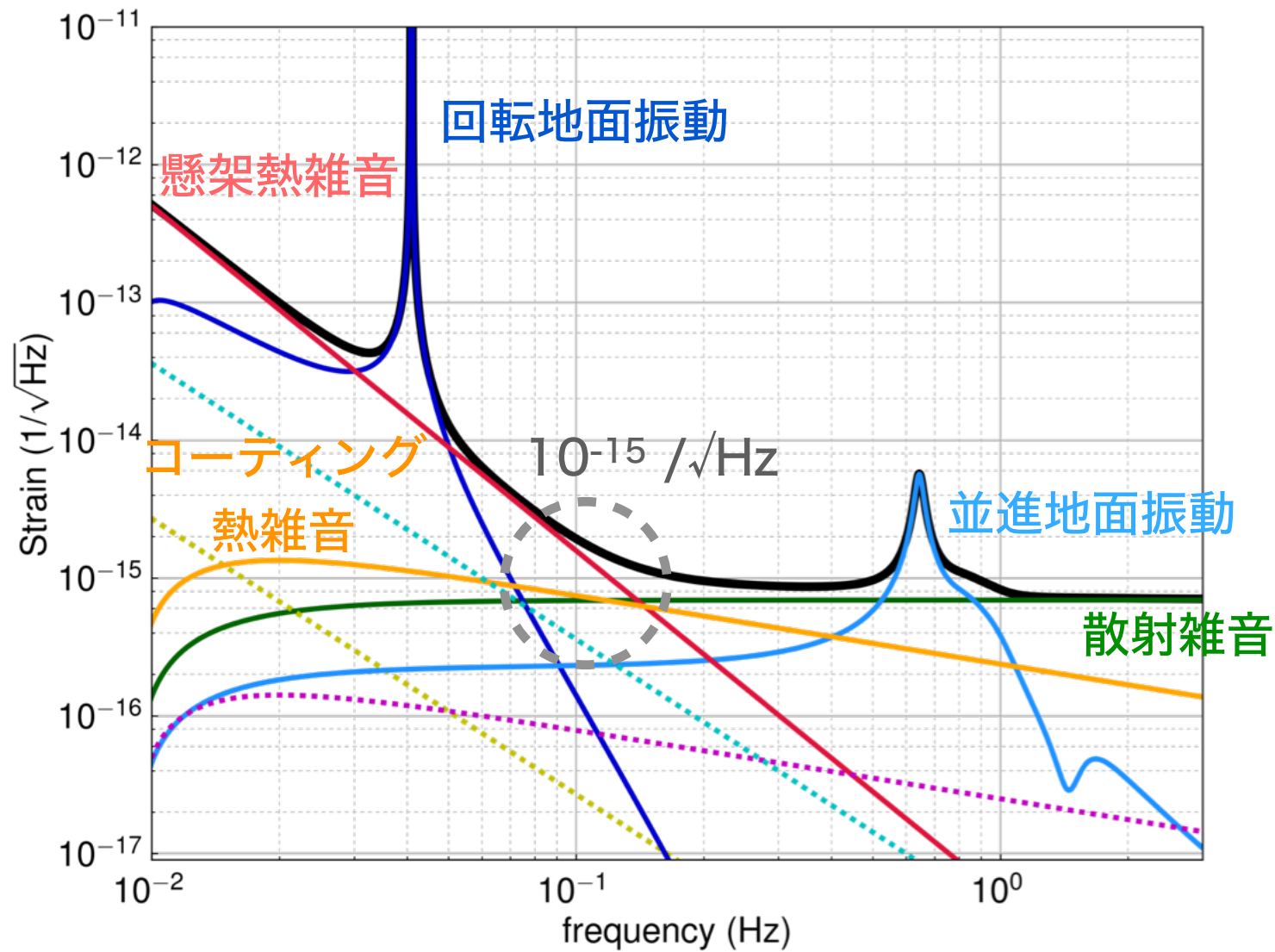
- **光学系**

- ▶ 改良型WFS

Phase-III TOBAの構成



目標感度



目標感度のための課題

・低温懸架系

- ▶ 冷却: 試験マスを4Kまで冷却

- ▶ Q値: 4 Kで $Q = 10^8$

・防振系

- ▶ 回転地面振動

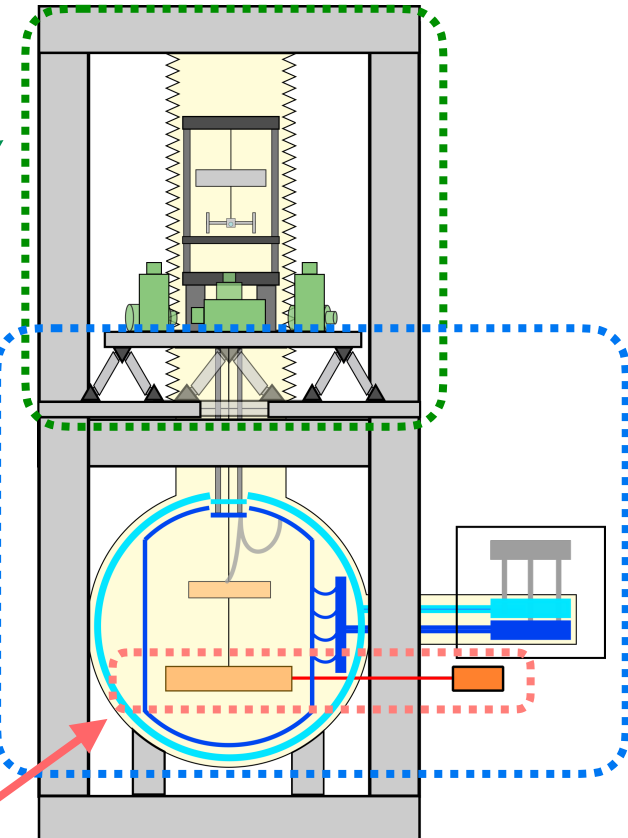
- ▶ 並進とのカップリング

- ▶ 並進地面振動: $10^{-7} \text{ m}/\sqrt{\text{Hz}} @ 0.1 \text{ Hz}$

- ▶ 冷凍機から導入される振動の低減

・光学系

- ▶ Wave Front Sensorを応用した読み取り系



目標感度のための課題

・低温懸架系

- ▶ 冷却: 試験マスを4Kまで冷却 → 本講演
- ▶ Q値: 4 Kで $Q = 10^8$ → Ooi氏 (20aT11-11)

・防振系

- ▶ 回転地面振動 ✓ 2段振り子+同相雑音除去
- ▶ 並進とのカップリング ✓ 低減手法の開発
- ▶ 並進地面振動: $10^{-7} \text{ m}/\sqrt{\text{Hz}}$ @ 0.1 Hz
- ▶ 冷凍機から導入される振動の低減

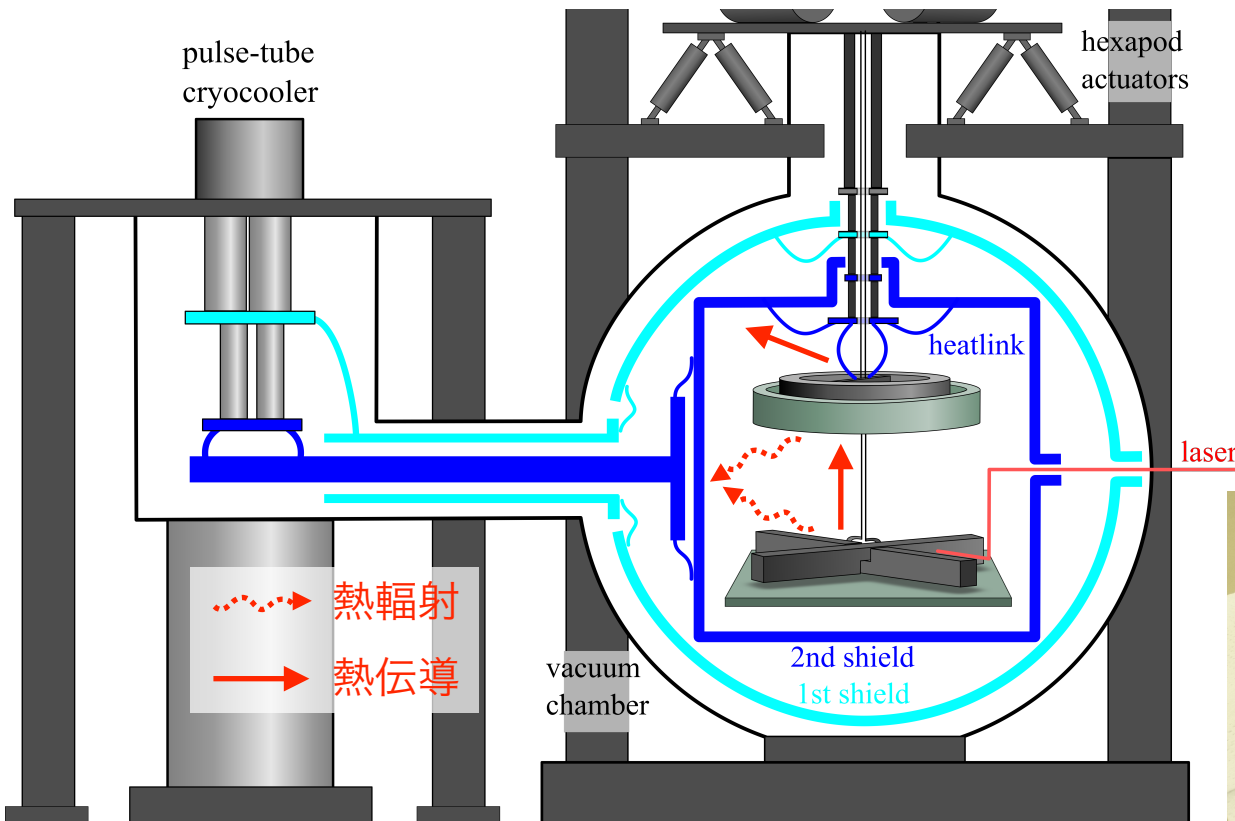
能動防振

・光学系

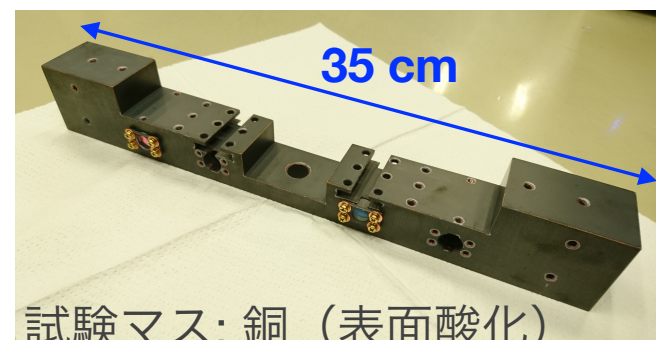
- ▶ Wave Front Sensorを応用した読み取り系 ✓ 原理実証済み

低温懸架系

- 熱雑音を下げるために4 Kまで冷却
- 低振動と両立させるために効果的に冷却
 - ▶ 热輻射 (300 K - 100 K) と熱伝導(100 K -)



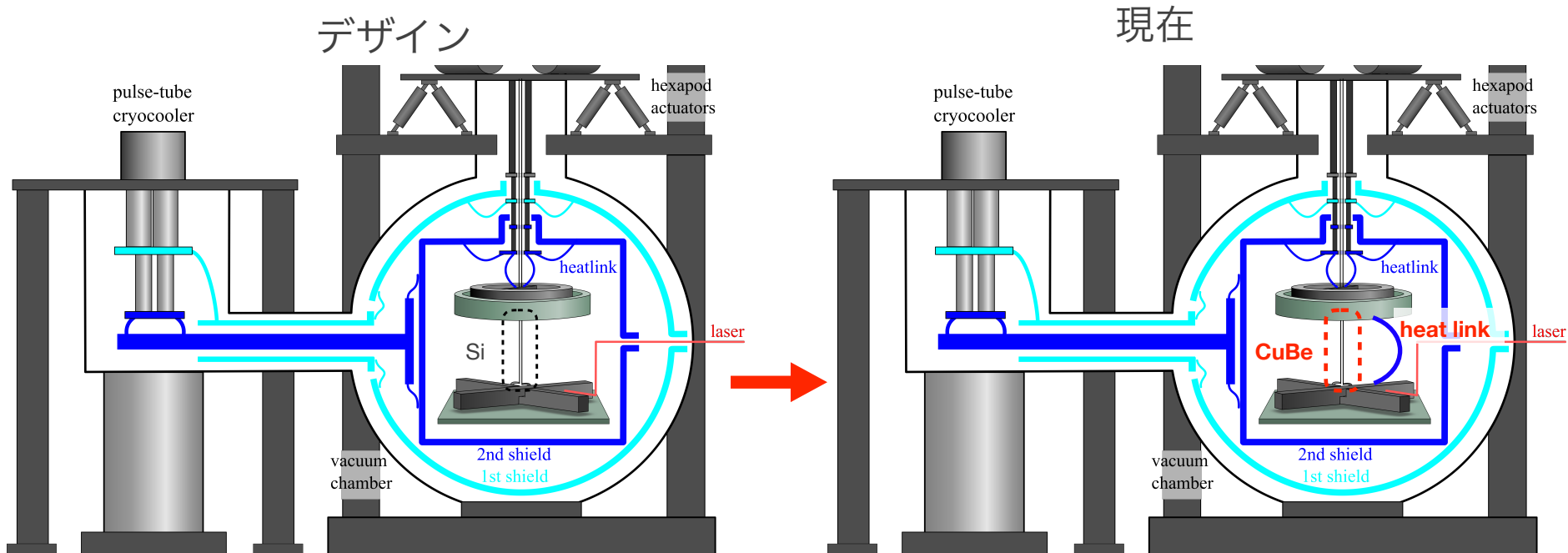
6N アルミ細線を
より合わせたもの



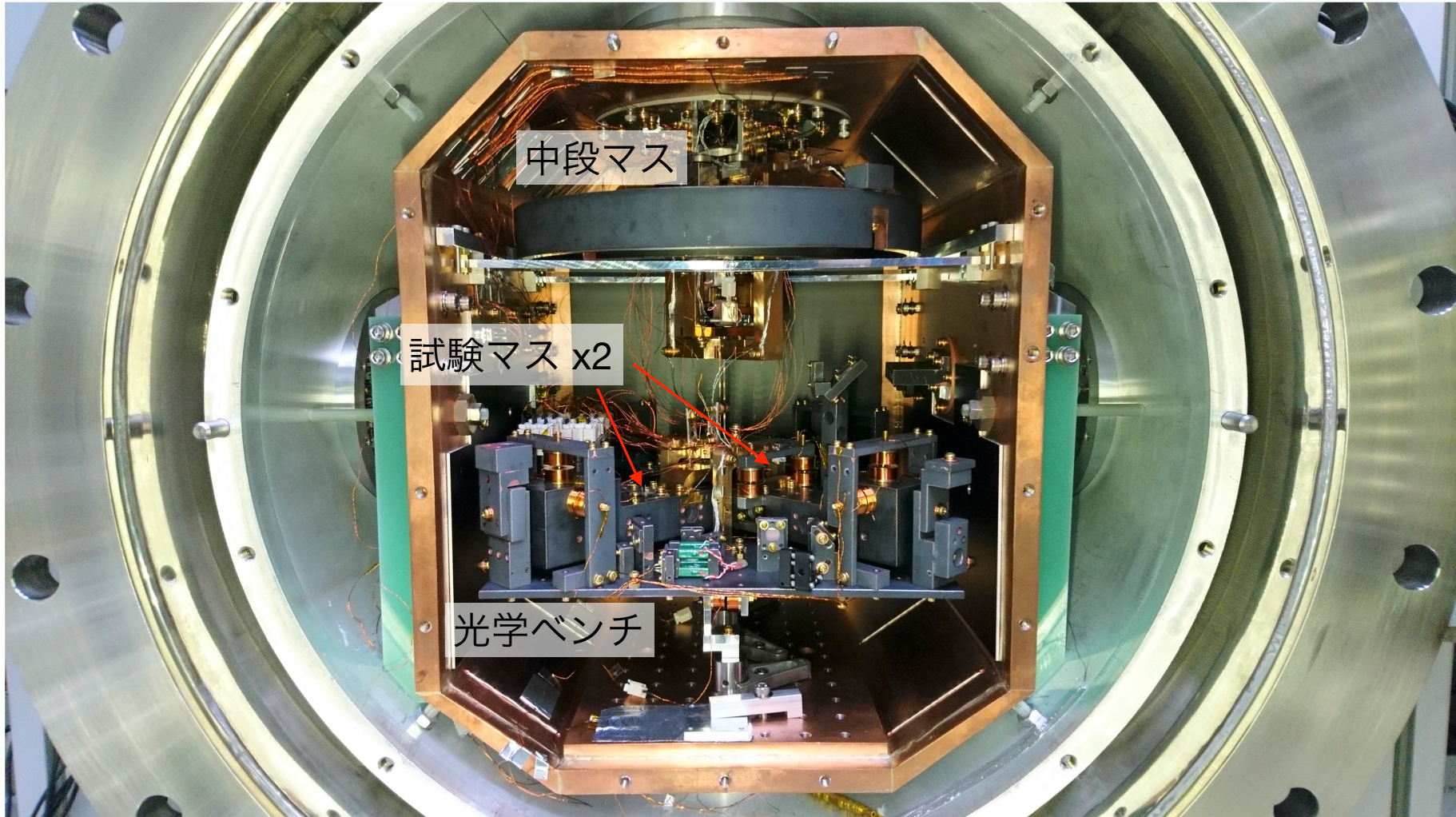
冷却試験

冷却系の動作確認＆低温での雑音源特定のために
やや簡素化したセットアップ

- シリコンファイバー → CuBeファイバー
- 中段マスー試験マス間にヒートリンク
- 角度読み取り光学系：光てこ

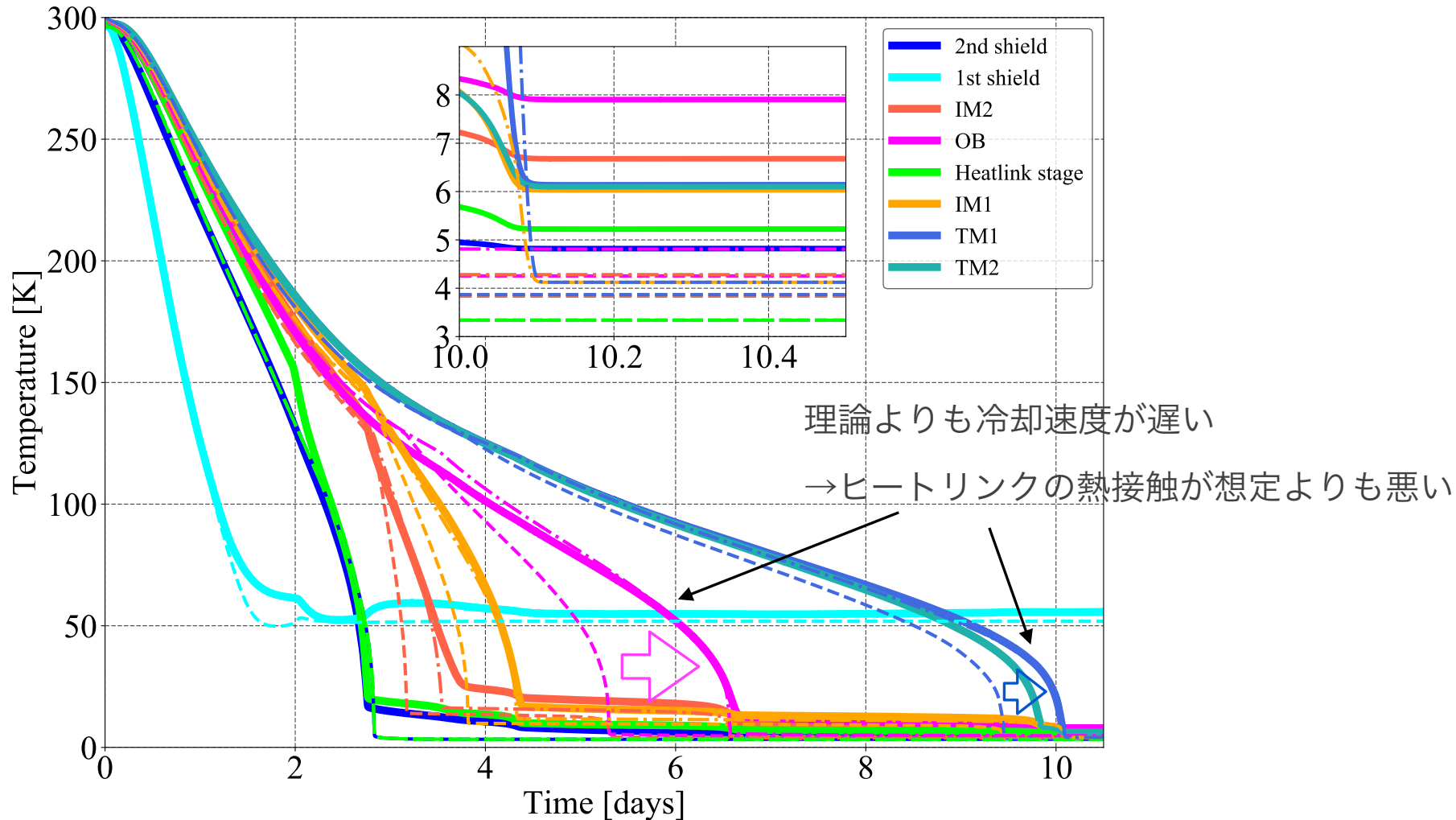


セットアップ



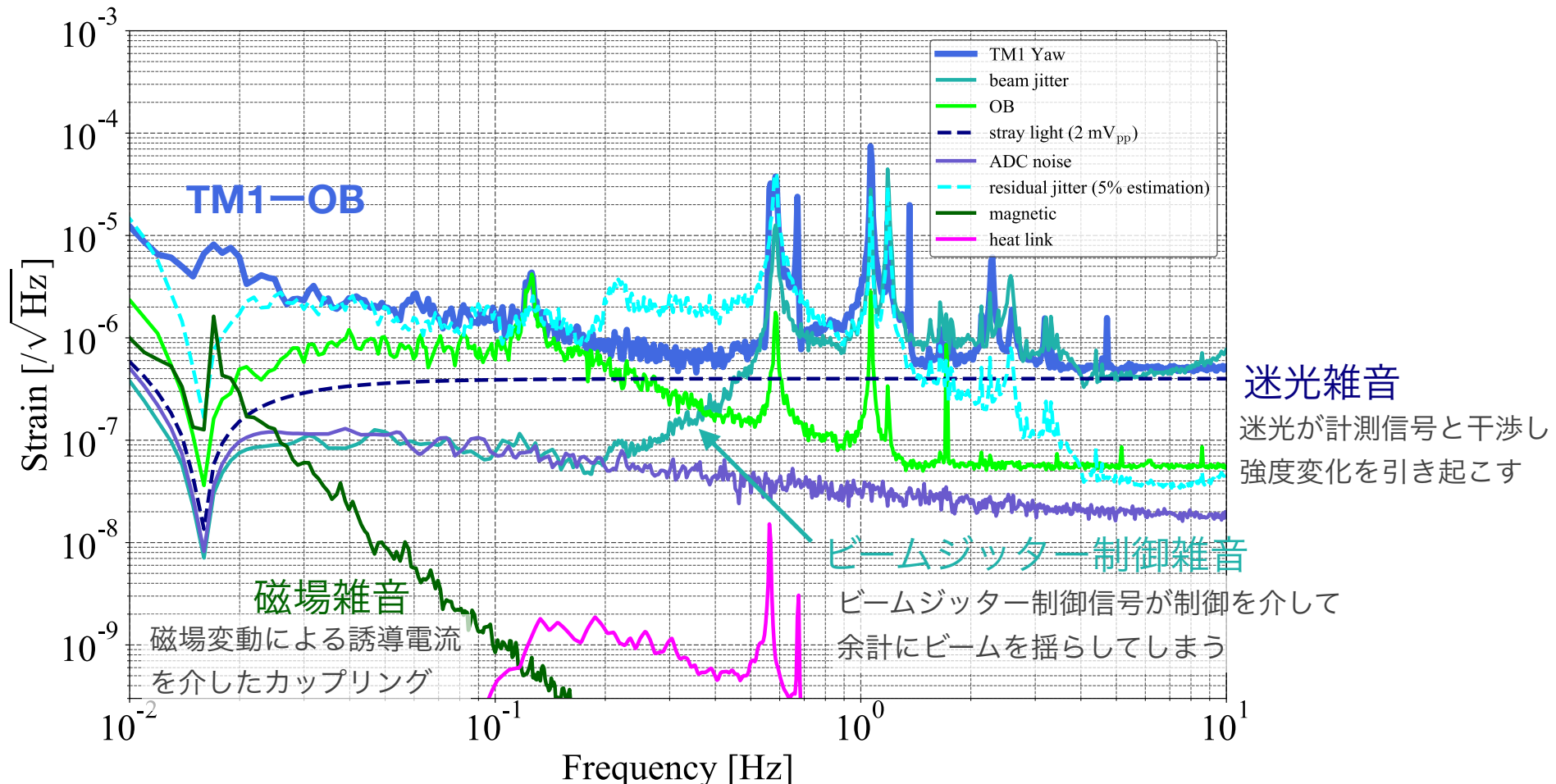
冷却結果

6.1 Kまでの冷却に成功 (4 Kの場合より1.2倍の熱雑音)



現在の感度

- ビームジッター制御雑音, 迷光雑音が現状の感度を制限
- 磁場雑音がPhase-IIIの目標感度を大きく制限しうる



現状のまとめ

- ・ 低温懸架系

- ▶ 冷却: 試験マスを6.1Kまで冷却
- ▶ 懸架ファイバー: CuBeで $Q \sim 10^3$

- ・ 光学系

- ▶ 光てこで読み取り
- ▶ 迷光雑音
- ▶ ビームジッター制御雑音

- ・ その他

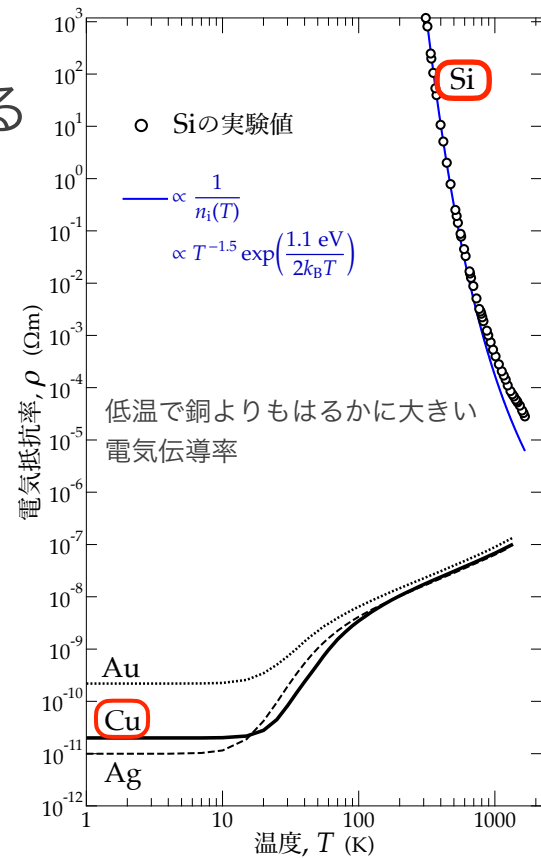
- ▶ 環境磁場カップリング

現状のまとめ

- 低温懸架系
 - ▶ 冷却: 試験マスを6.1Kまで冷却 ✓ 概ね完了
 - ▶ 懸架ファイバー: CuBeで $Q \sim 10^3$ → 懸架ファイバーをシリコンに
- 光学系
 - ▶ 光てこで読み取り → マイケルソン干渉計
 - ▶ 迷光雑音
 - ▶ ビームジッター制御雑音 →
 - 光ファイバーで真空槽へ導入
 - モノリシック光学系
- その他
 - ▶ 環境磁場カップリング → 試験マスをシリコンに

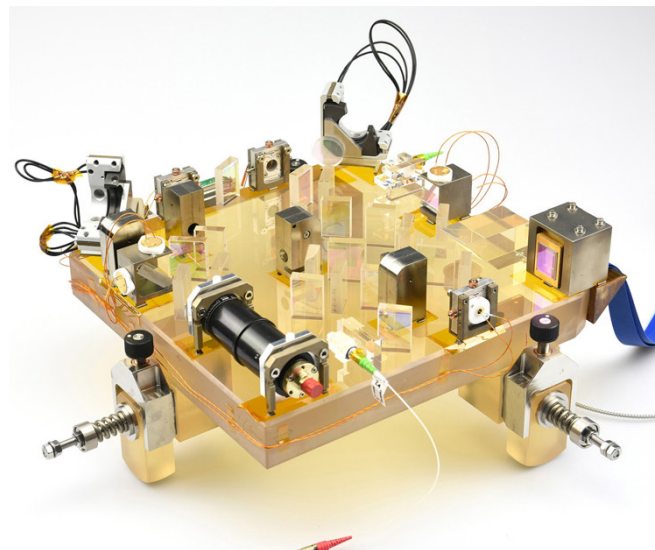
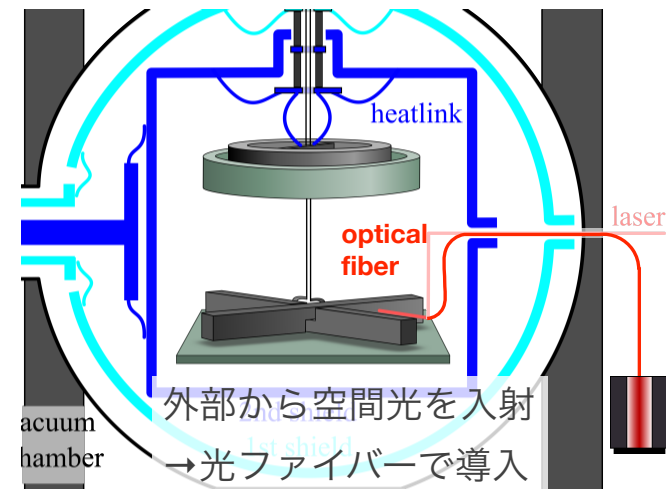
シリコン懸架系

- 試験マス
- 電気伝導率を下げることで誘導電流を減らす
 - ▶ 試験マスの材質を絶縁体・半導体に
 - ▶ 熱伝導、機械損失の観点からシリコンを用いる
- シリコン懸架ファイバー
- 热伝導率の向上
 - ▶ ヒートリンクの本数の削減
- 高いQ値
 - ▶ 現状の懸架ファイバー: CuBe, $Q \sim 10^3$
 - ▶ シリコンに変更 $\rightarrow Q \sim 10^8$ (1/300の熱雑音)



光学系改良

- 入射光学系
 - これまで、懸架された光学ベンチへ 真空槽外から空間光レーザーを入射
 - ▶ 光ファイバーを用いて導入
- 読み取り光学系
 - モノリシック光学系
 - ▶ ジッターの低減
 - 光てこ → マイケルソン干渉計
 - ▶ 読み取り感度の向上



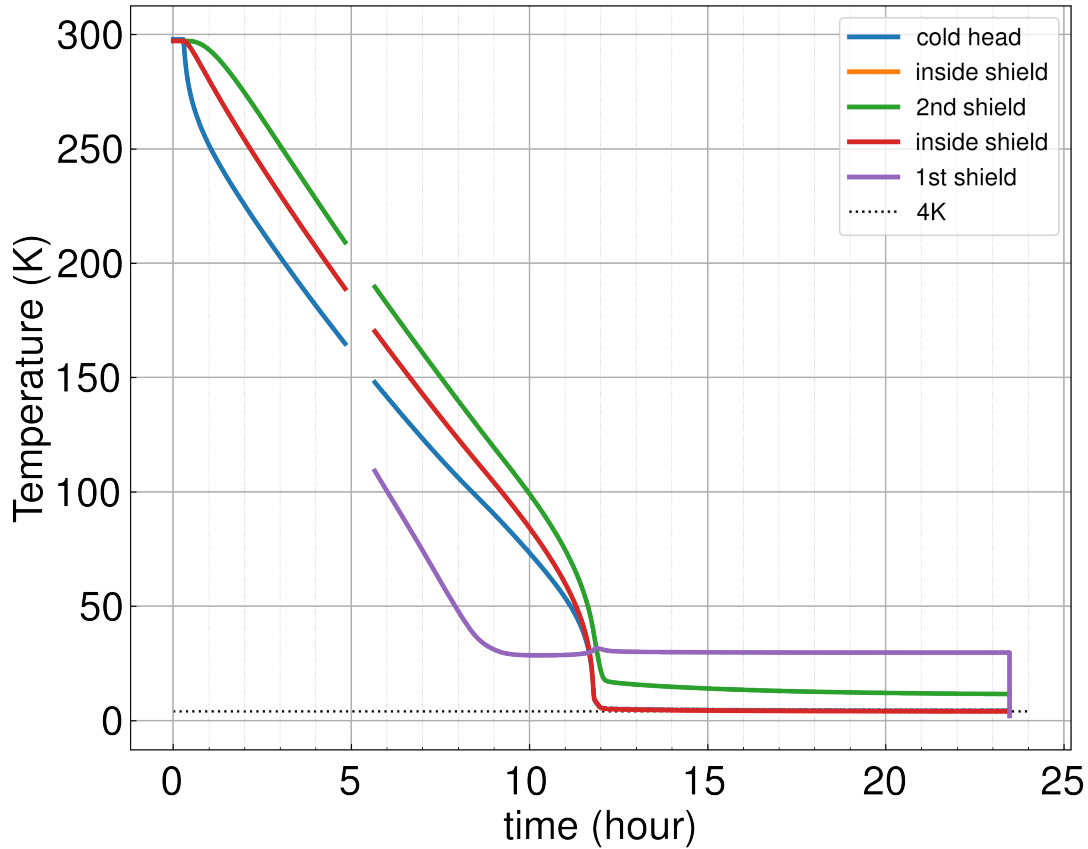
[Chwalla et. al. \(2016\)](#)

改良計画

- シリコン懸架系
- 懸架ファイバーを発注、懸架テスト予定
- 試験マスは入手先を検討中
- 光学系
- 光学系の発注、設計
- 低温に冷やした際のミスアラインメントの評価
- 低温試験を行う別の冷凍機が稼働
 - ▶ メインの懸架系と並行して測定を行う

新規冷凍機

- ・ 今月初めに稼働
- ・ 約12時間で4 Kまでの冷却を確認

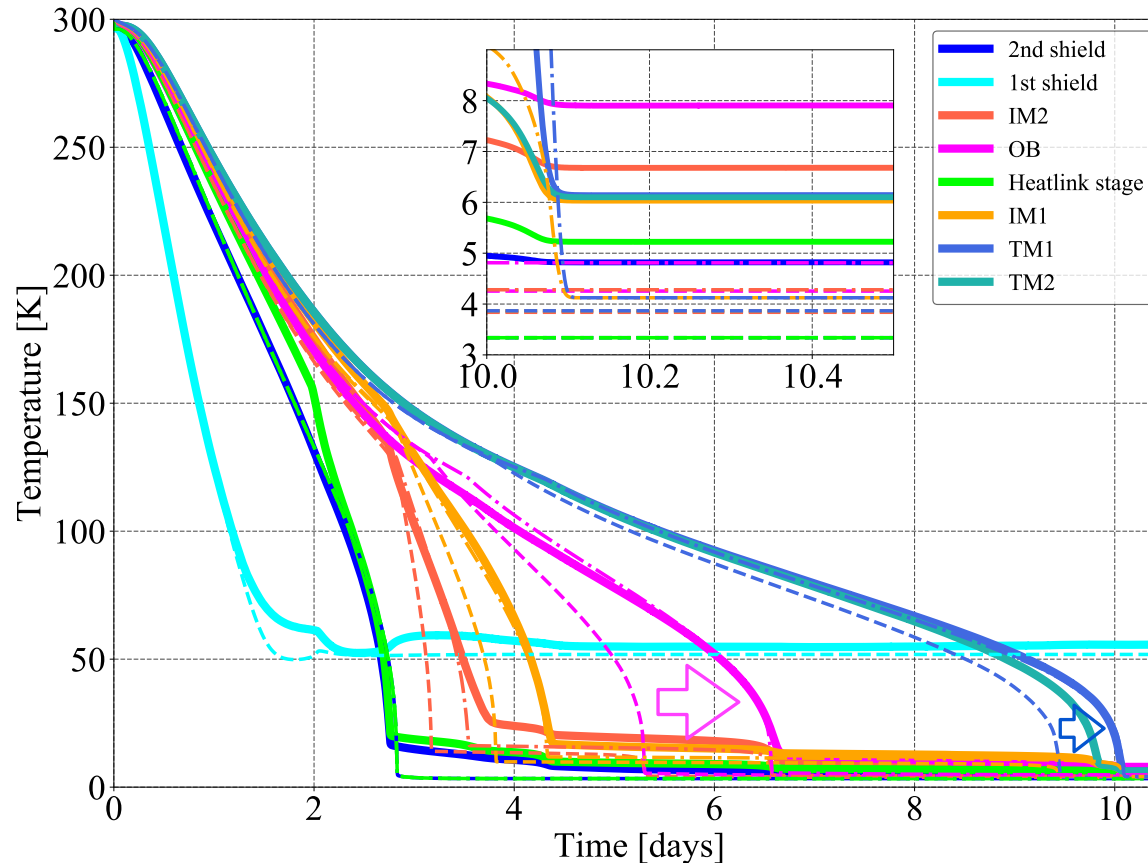


まとめ, 今後の展望

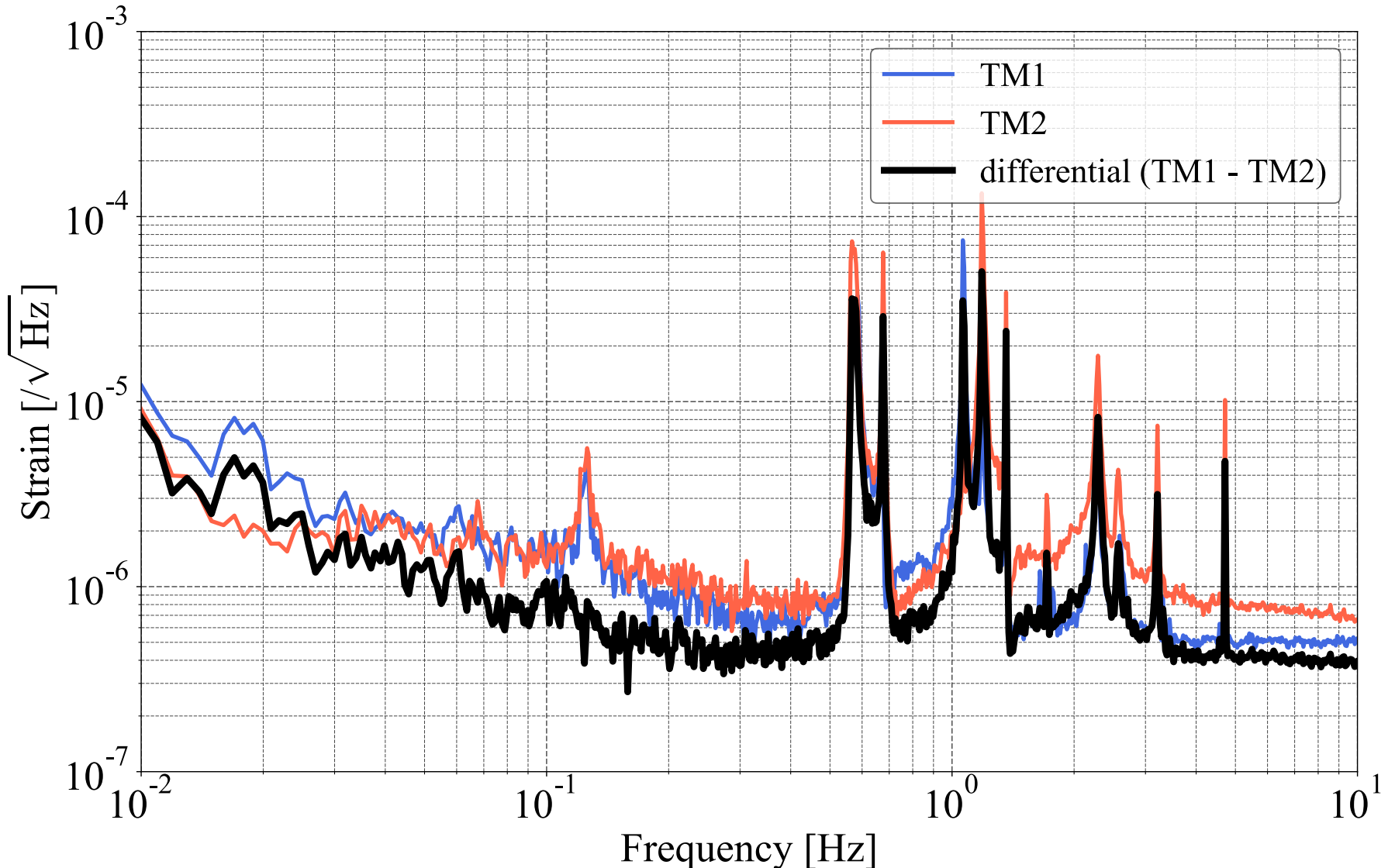
- Phase-III TOBA実現に向けた低温懸架系の開発
 - 低温運転に成功
 - ビームジッター制御, 迷光, 磁場雑音などの低減が必要
- 低温懸架系の改良計画
 - 試験マス, 懸架ファイバーをシリコンで製作
 - ▶ 磁場カップリングの低減
 - ▶ Q値の向上
 - モノリシック光学系
 - ▶ ビームジッターの低減
 - ▶ 高感度化
- メインの懸架系と並行して低温試験を行う予定

冷却結果

- 6.1 Kまでの冷却に成功 (4 Kの場合より1.2倍の熱雑音)
- 理論よりも冷却速度が遅い
 - ▶ ヒートリンクの熱接触が想定よりも悪い

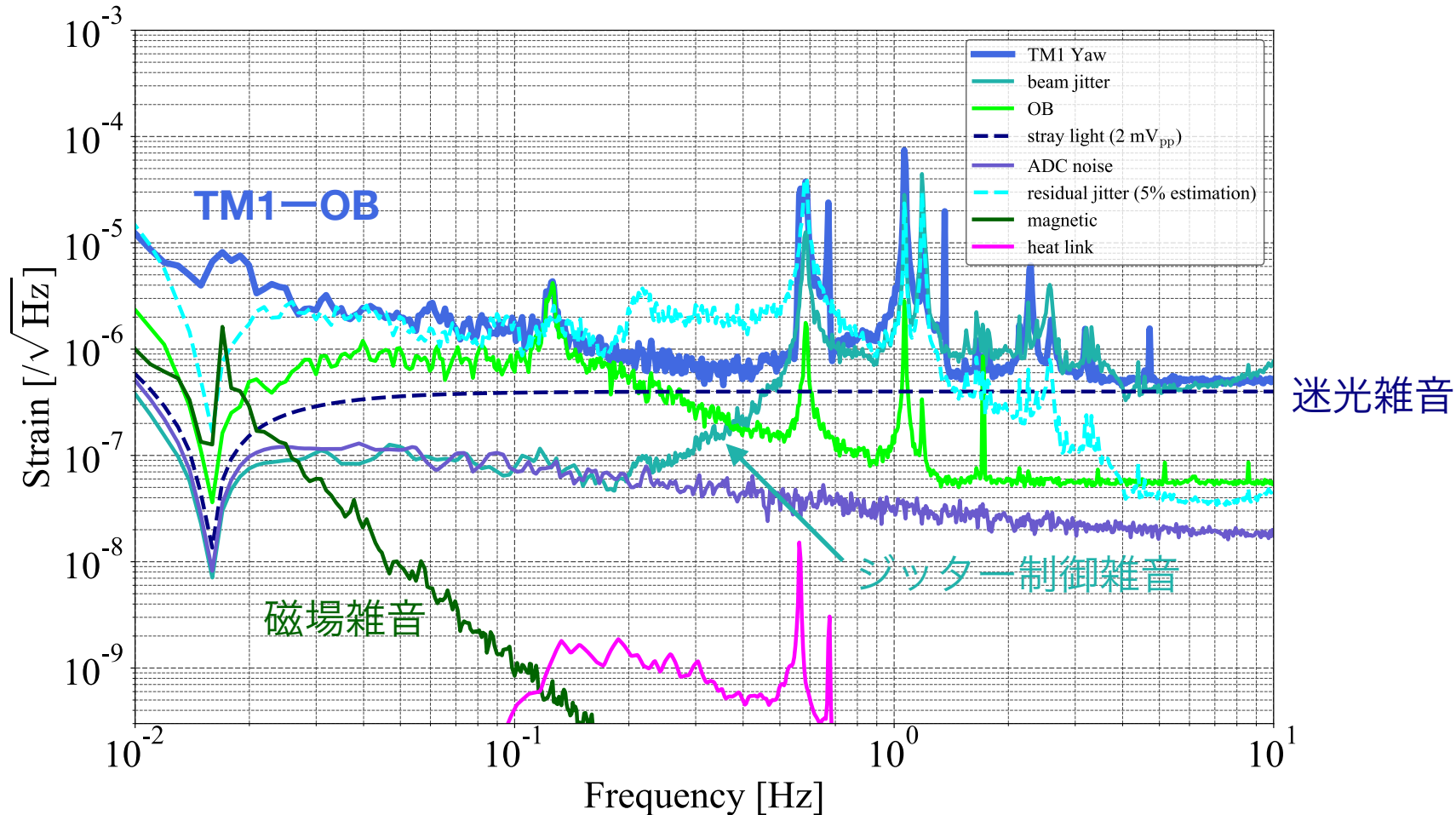


現在の感度

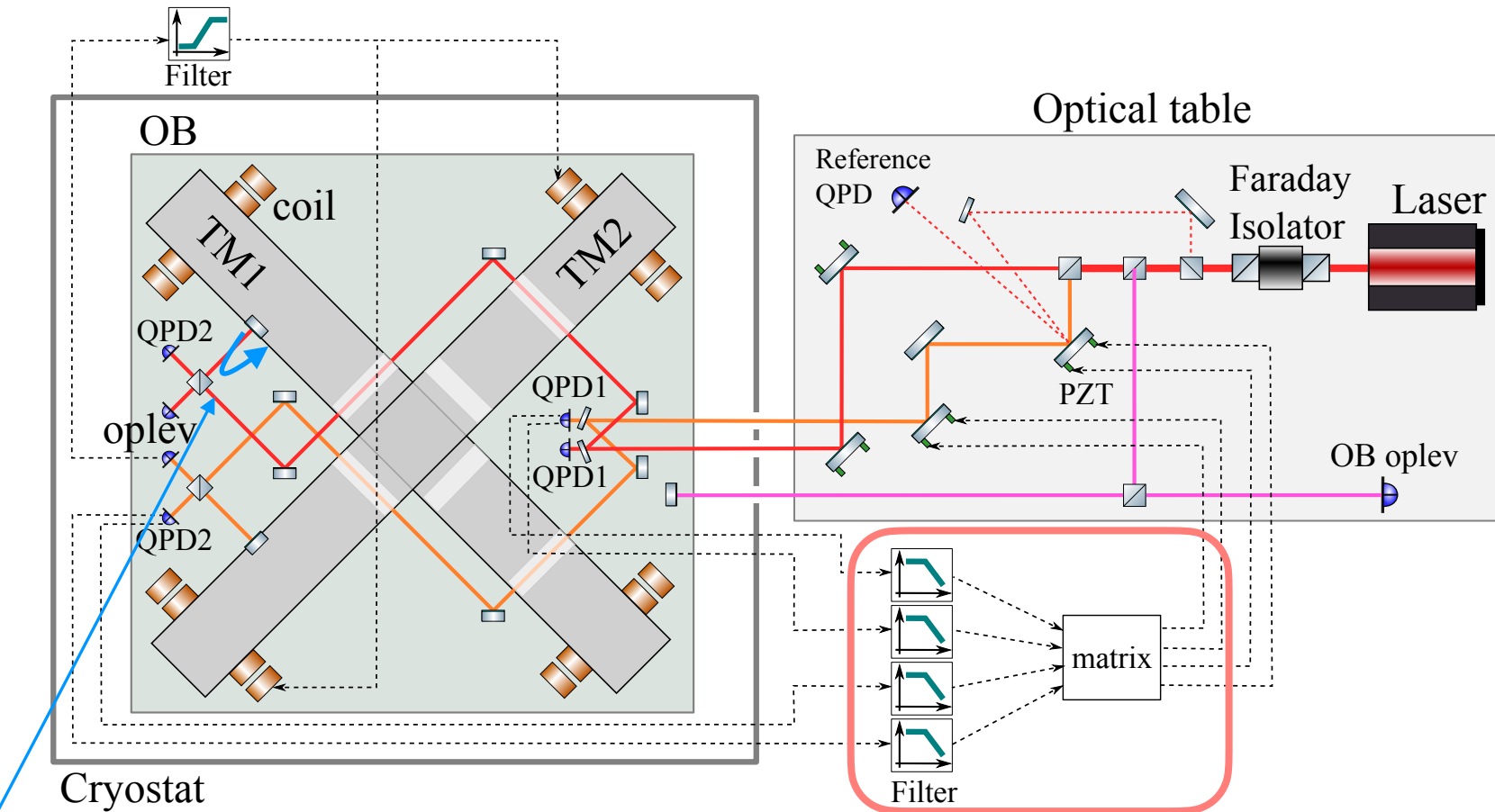


雑音源

- ビームジッター制御雑音、迷光雑音が現状の感度を制限
- 磁場雑音がPhase-IIIの目標感度を大きく制限しうる



ビームジッター, 迷光



迷光雑音 :

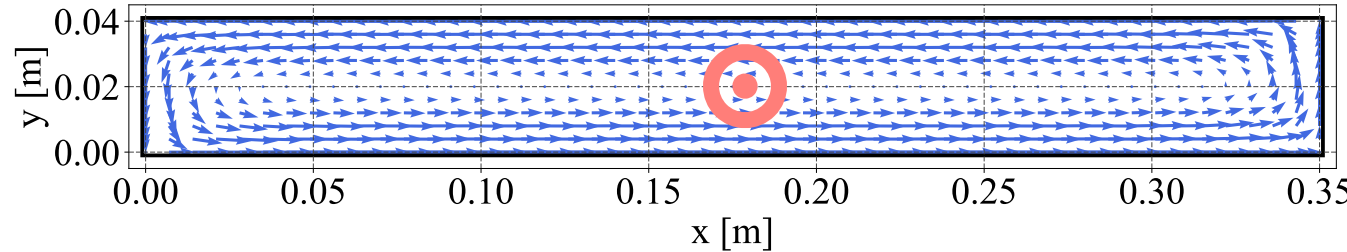
BSの表面反射などによる迷光が計測信号と干渉し, 強度変動を起こす雑音

ビームジッター制御雑音 :

ビームジッターの制御信号に強度変動などの信号が混入し, 制御を介して逆にビームを揺らしてしまう

磁場雑音

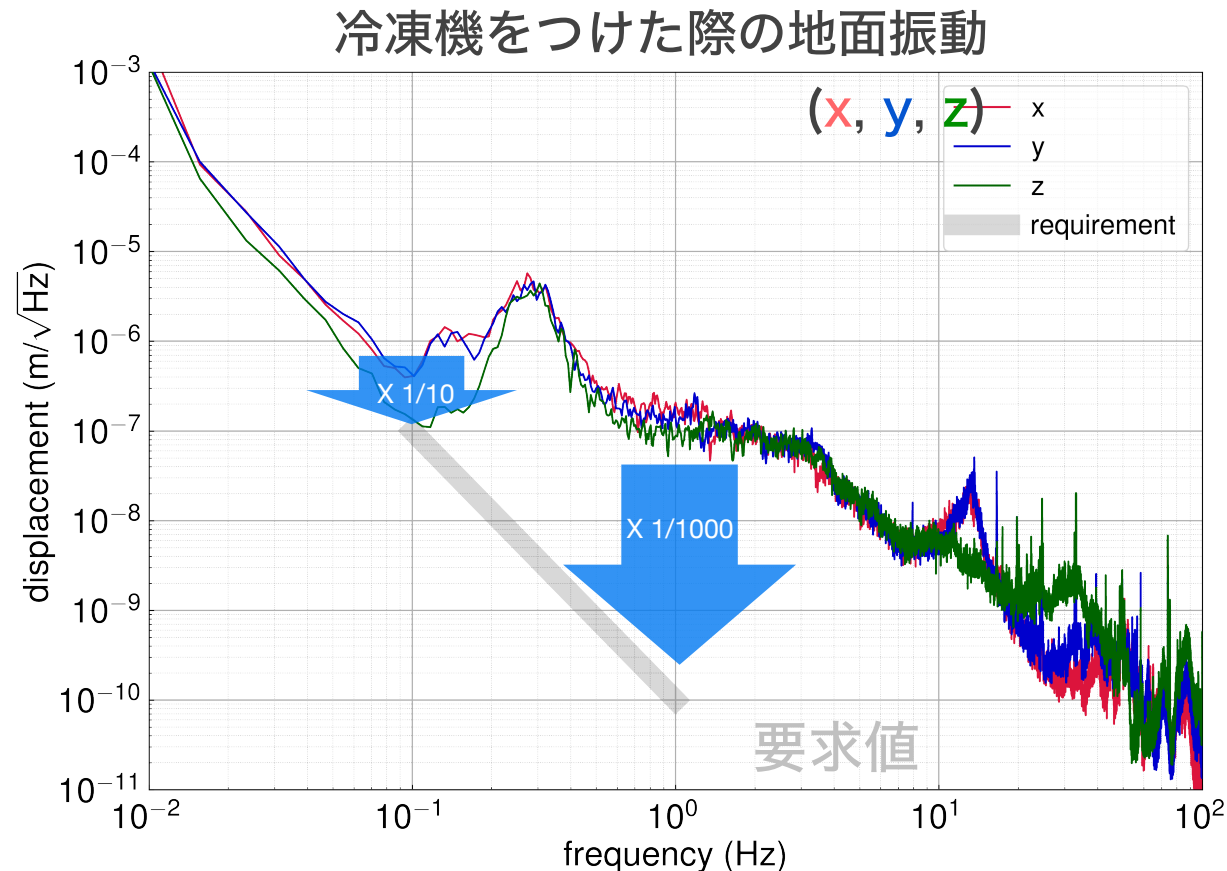
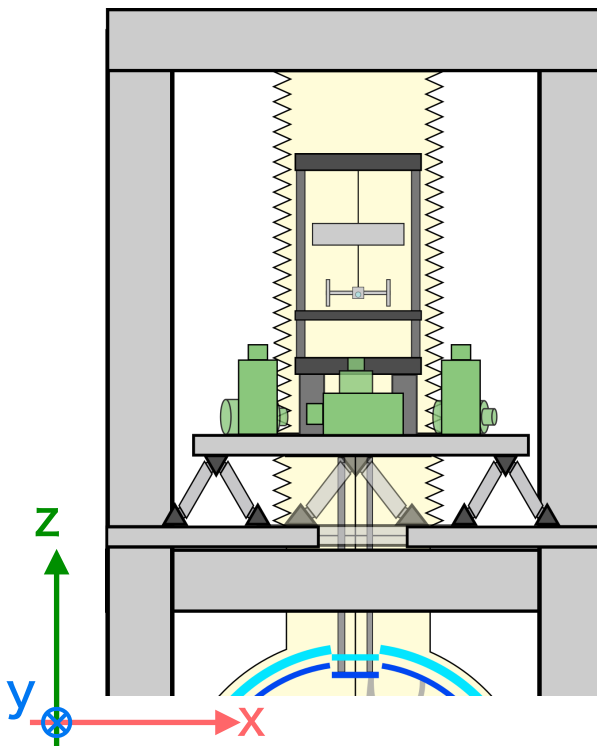
- 環境磁場変動による誘導電流が試験マスに流れ、磁気モーメント μ をもつ
- 環境磁場のDC成分Bとカップルし、トルク雑音 $N=B\times\mu$ が生じる



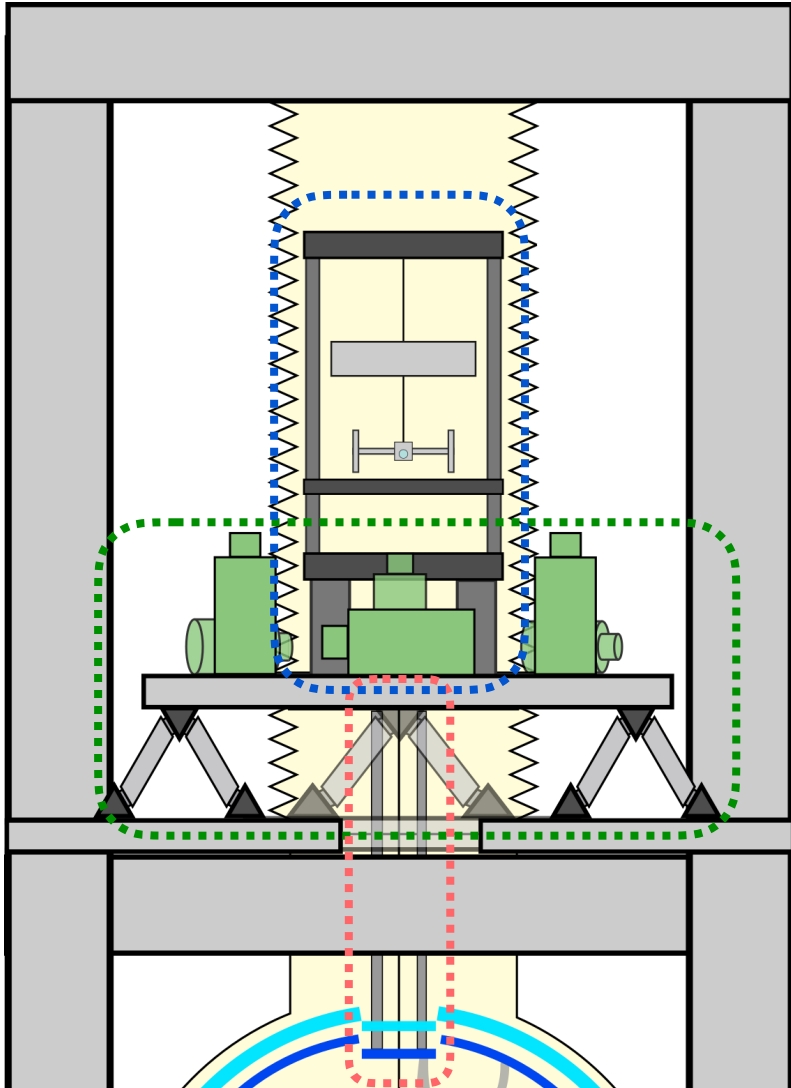
- μ は電気伝導度に比例
 - 低温になるほど寄与が大きくなる
- 現状 $10^{-9} / \sqrt{\text{Hz}}$ @ 0.1 Hz
 - 目標感度 $10^{-15} / \sqrt{\text{Hz}}$ 達成には6桁の低減が必要

懸架点の防振

- ・ 懸架点の振動への要求値: $10^{-7} \text{ m}/\sqrt{\text{Hz}}$ @ 0.1Hz
 - ▶ 0.1 Hzで1/10, 1 Hzで1/1000 程度の防振が必要



能動防振系の機能



傾斜計

→AVITの角度変動の読み取り

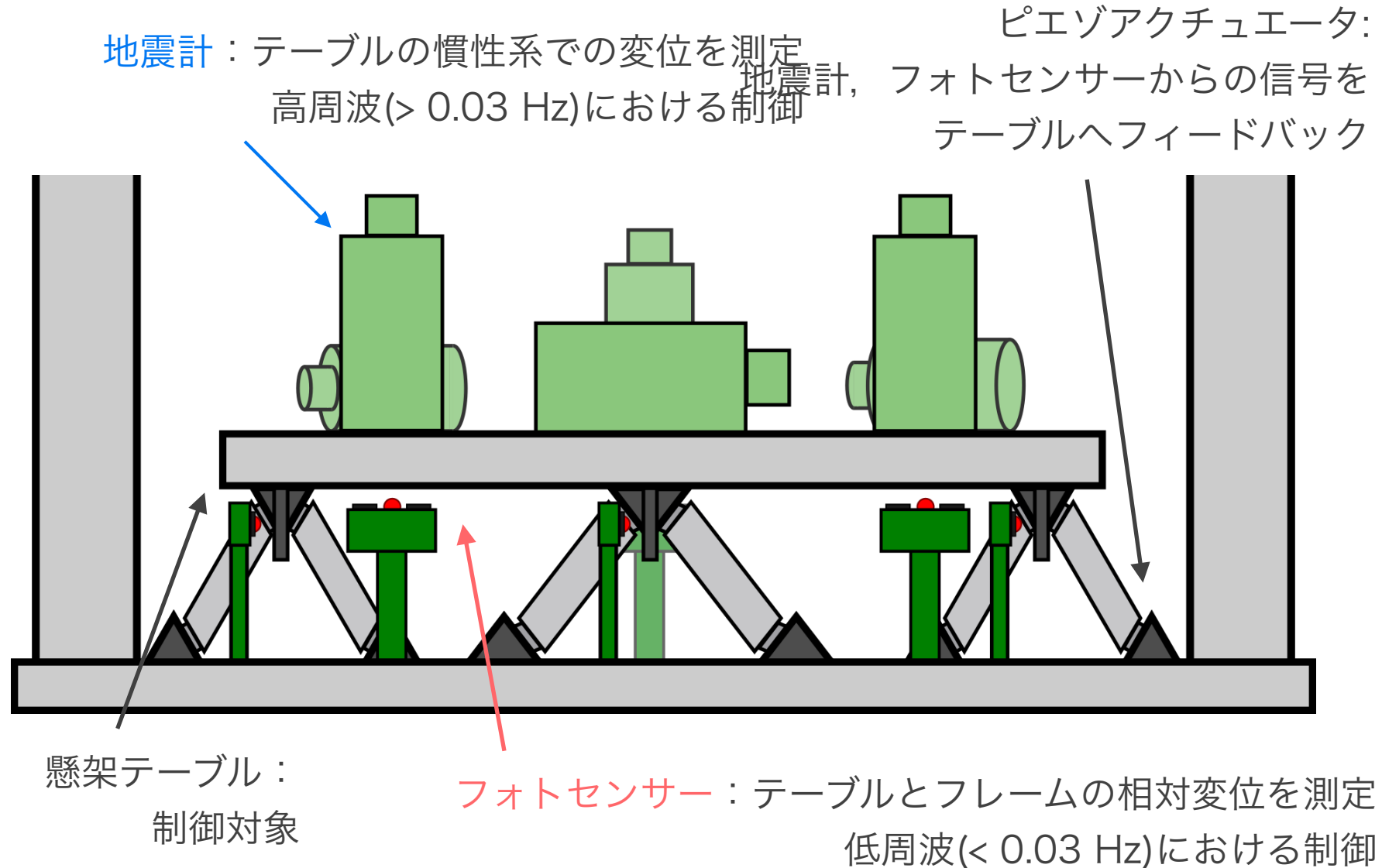
Active Vibration Isolation Table (AVIT)

→懸架点の能動防振

断熱ロッド

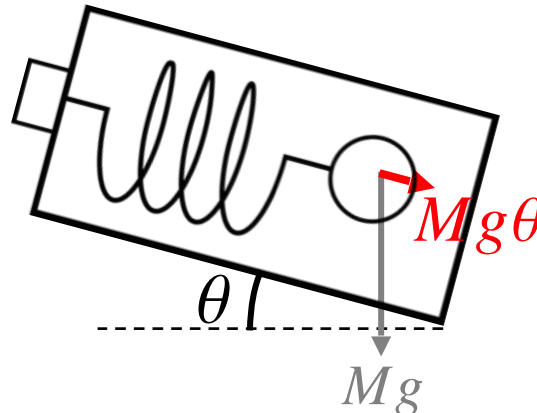
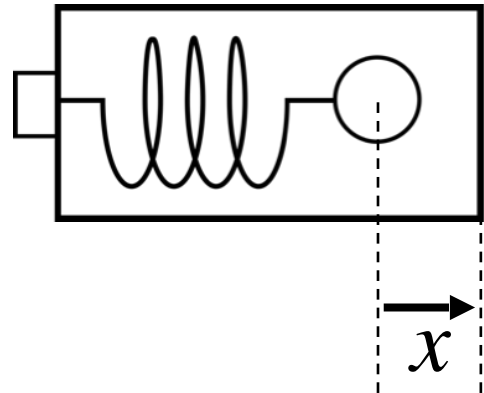
→冷凍機から導入される振動の低減

能動防振系の構成



傾斜力アップリング

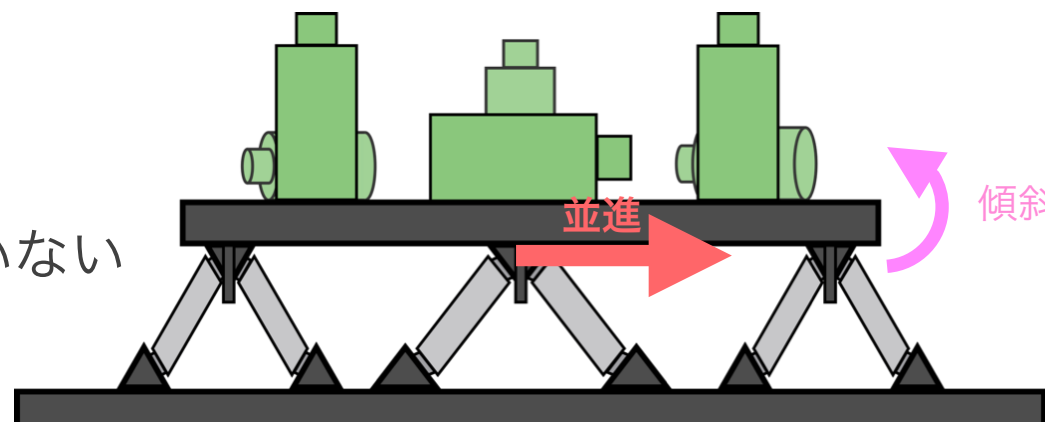
- 一般に慣性センサーは並進だけでなく傾き変動にも感度を持つ



$$M\ddot{x} = Mg\theta$$

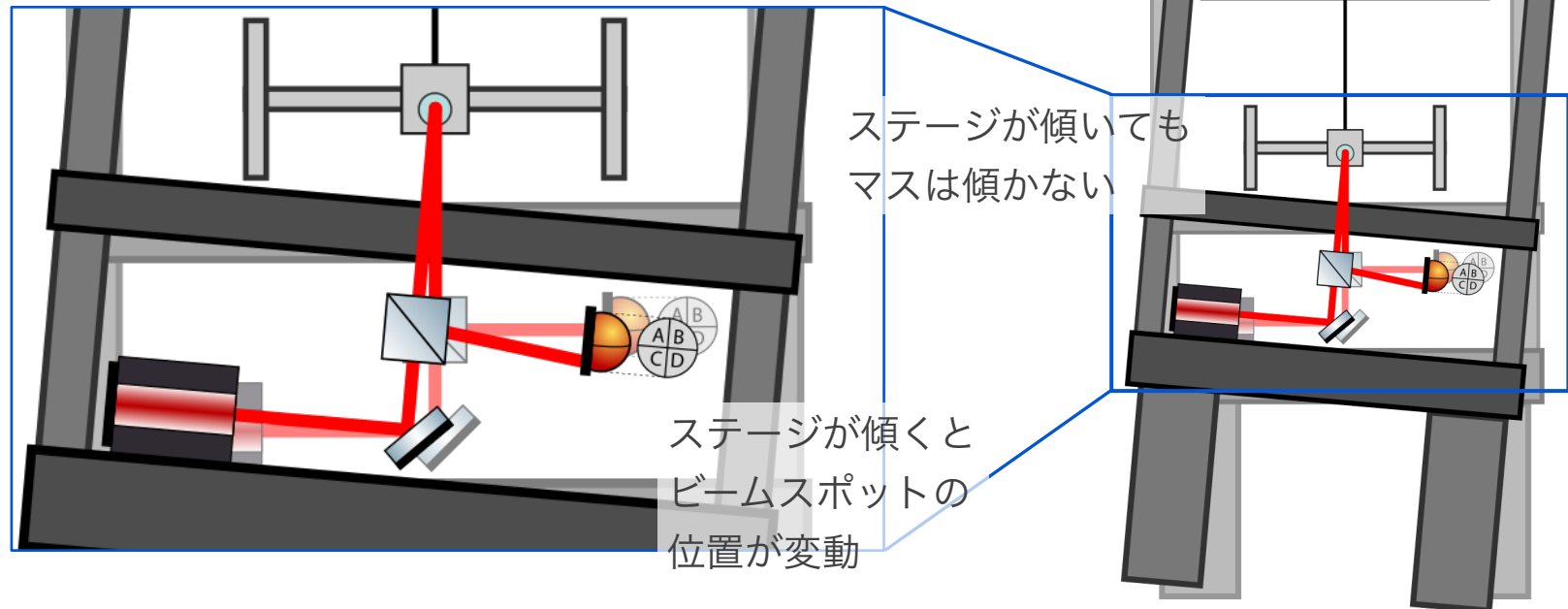
$$\tilde{x} = -\frac{g}{\omega^2}\tilde{\theta}$$

- 低周波ほど傾き変動の影響が大きい
- アクチュエーターの傾斜力アップリング
 - 並進に揺らすと同時に傾斜方向にも加振
 - 低周波では並進を読めていない
 - 対角化 or 傾斜計の利用

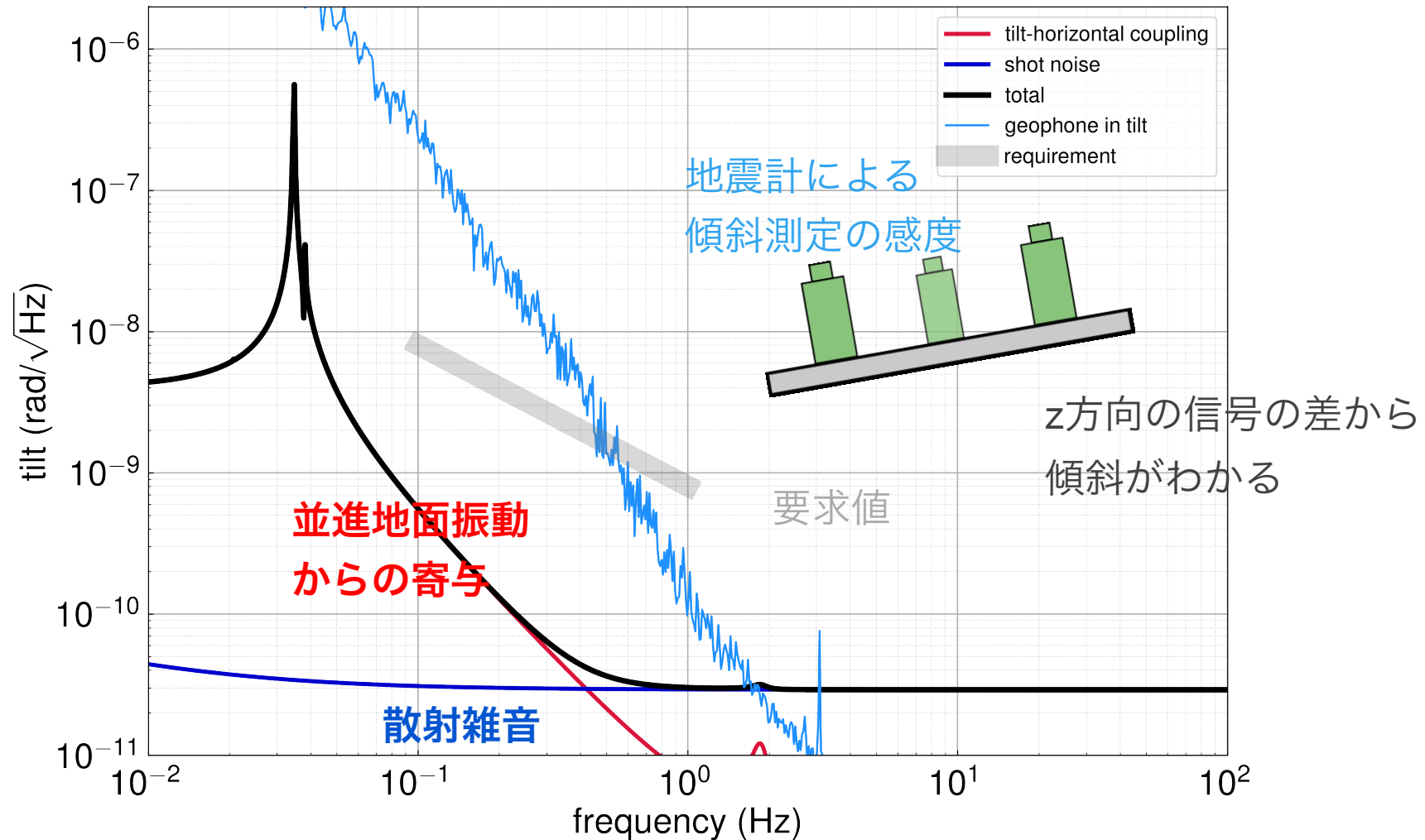


傾斜測定の原理

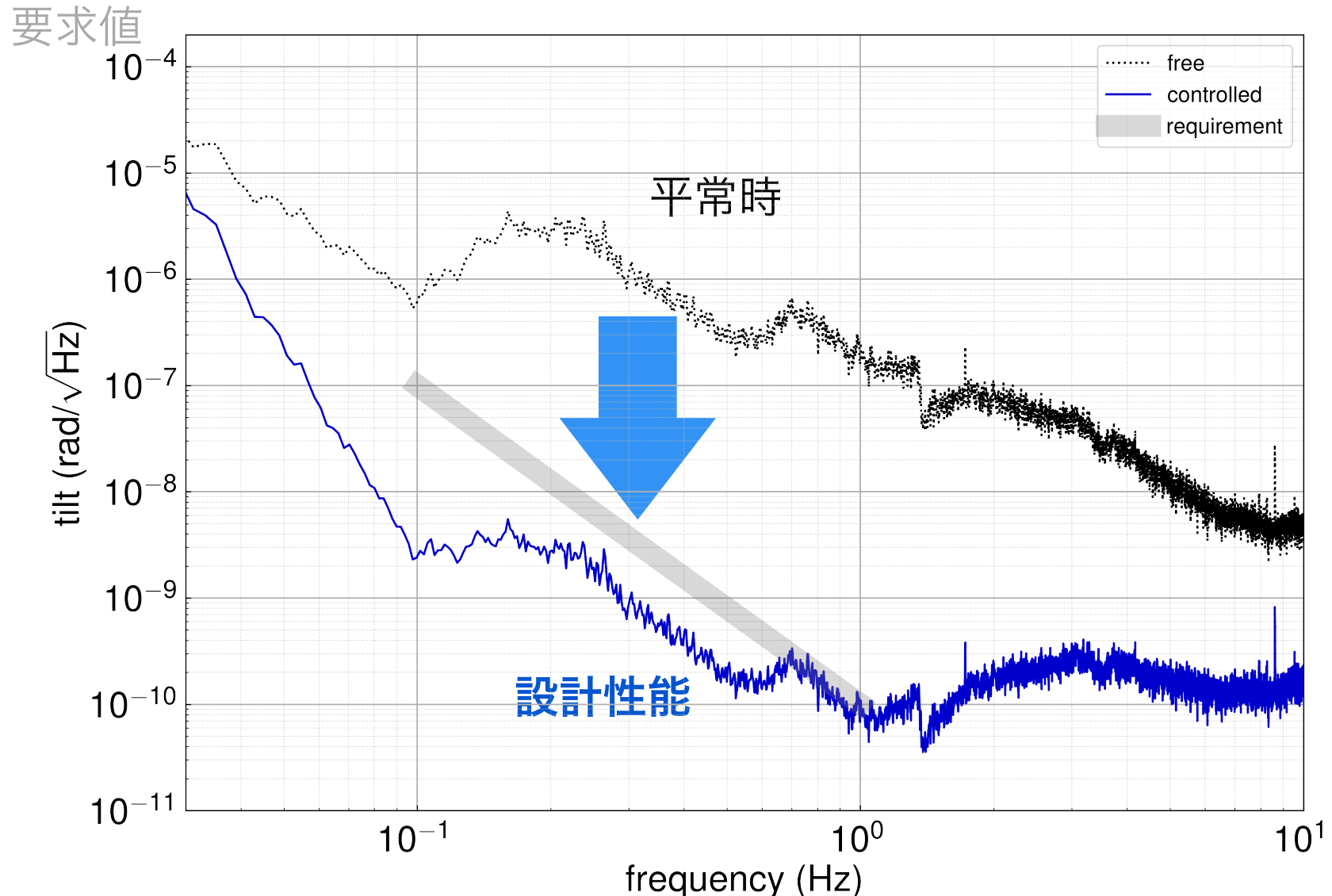
- ・ 懸架点が傾いても振り子の傾きは変化しない
 - ▶ 懸架したマスとテーブルに固定された光学系の相対傾きから、テーブルの慣性系からの傾き変動を読み取る
- ・ 読み取り光学系
 - ▶ 光てこを用いた角度読み取り



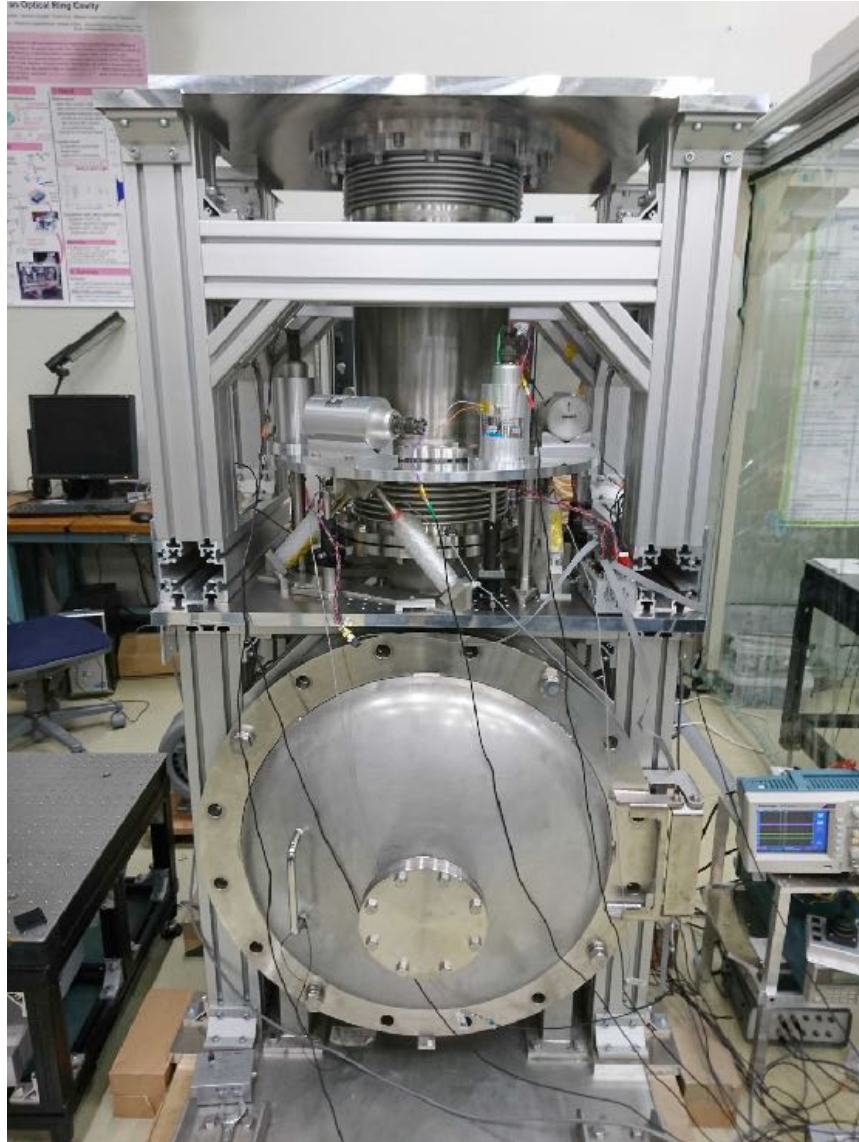
傾斜計の目標感度



設計性能



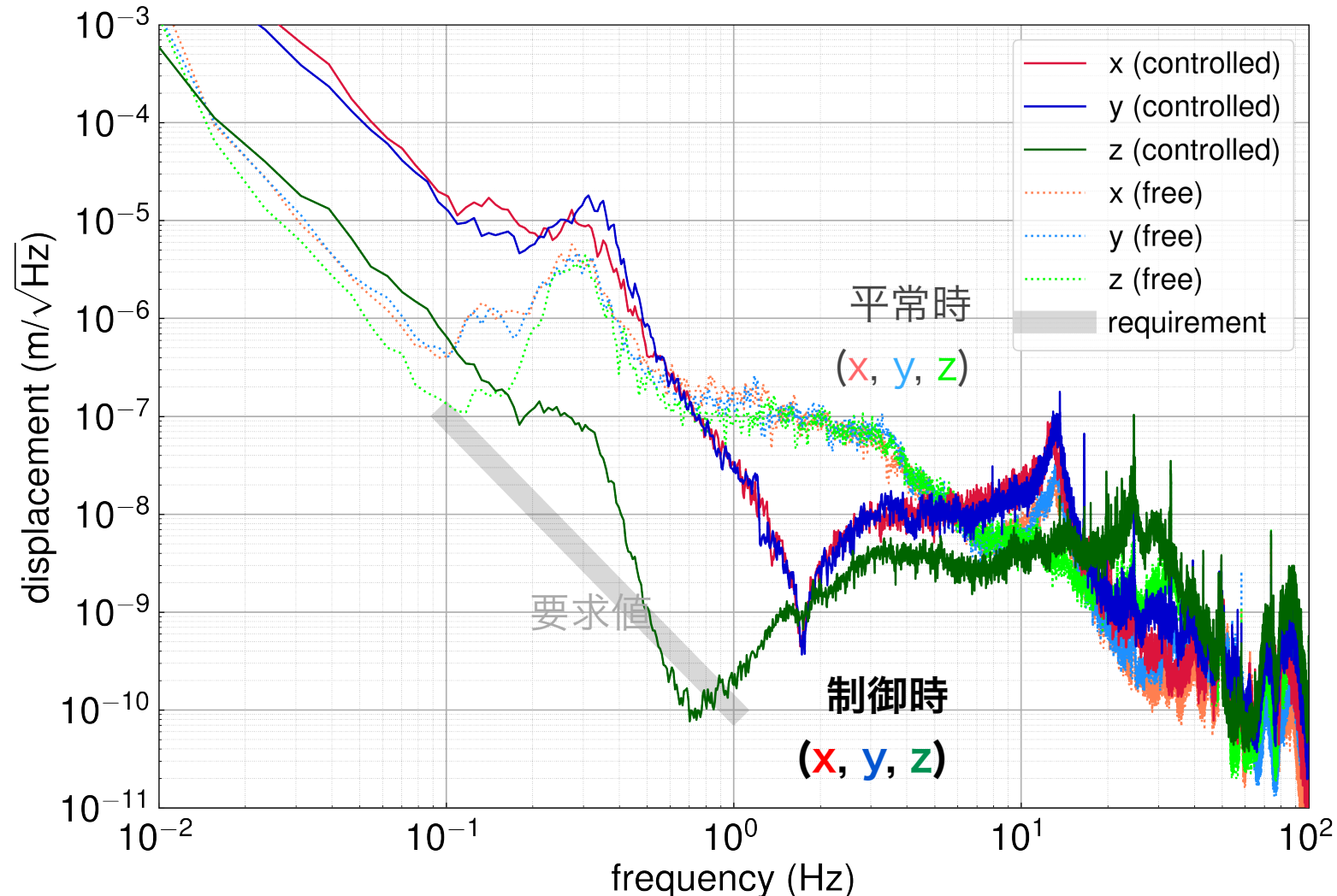
防振性能試験



同様の寸法だが、冷凍機の付いてい
る
ではない、AVITのみ

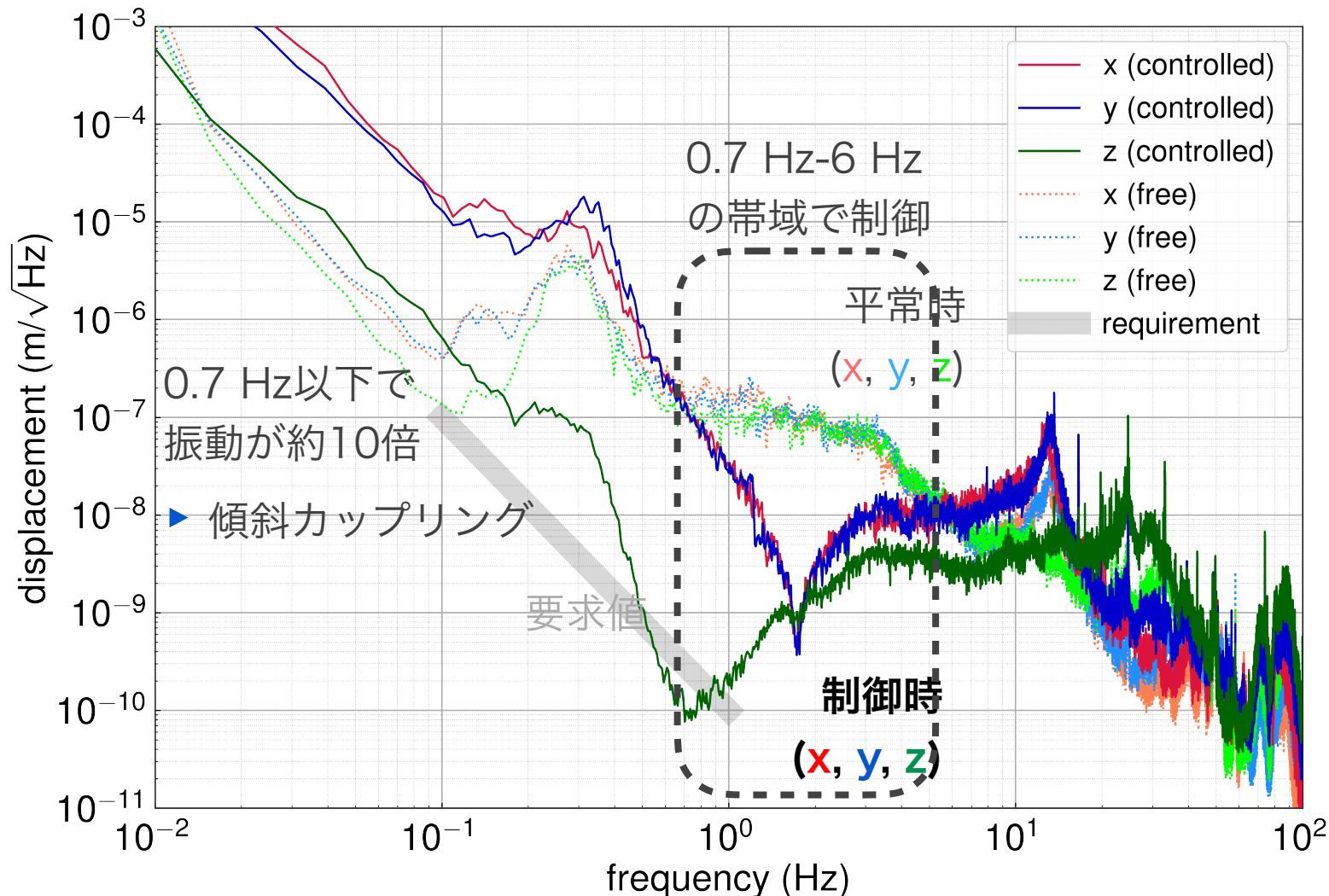
現在の防振性能

- **X, Y, Z軸の3軸同時制御に成功**



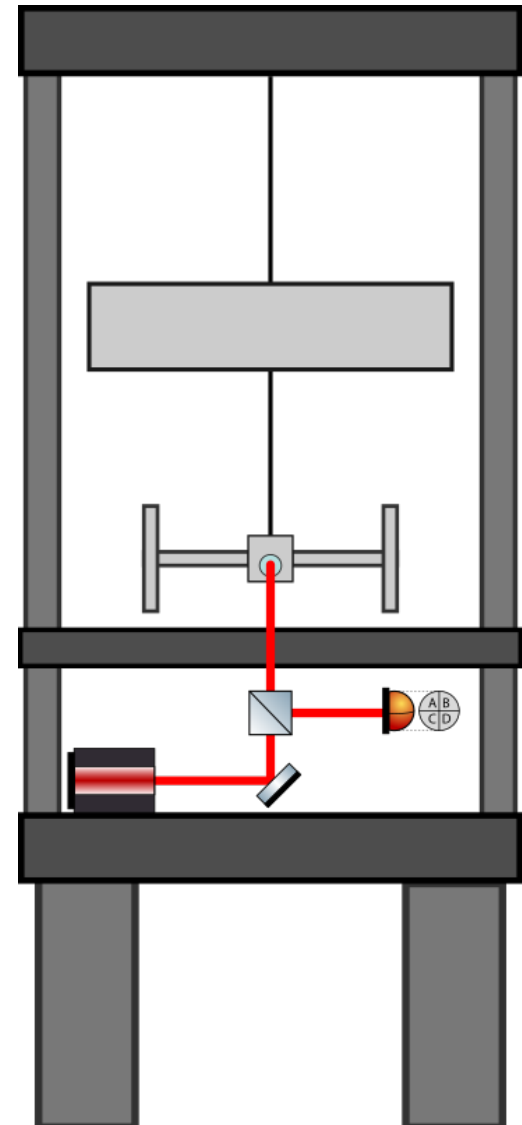
現在の防振性能

- **X, Y, Z軸の3軸同時制御に成功**



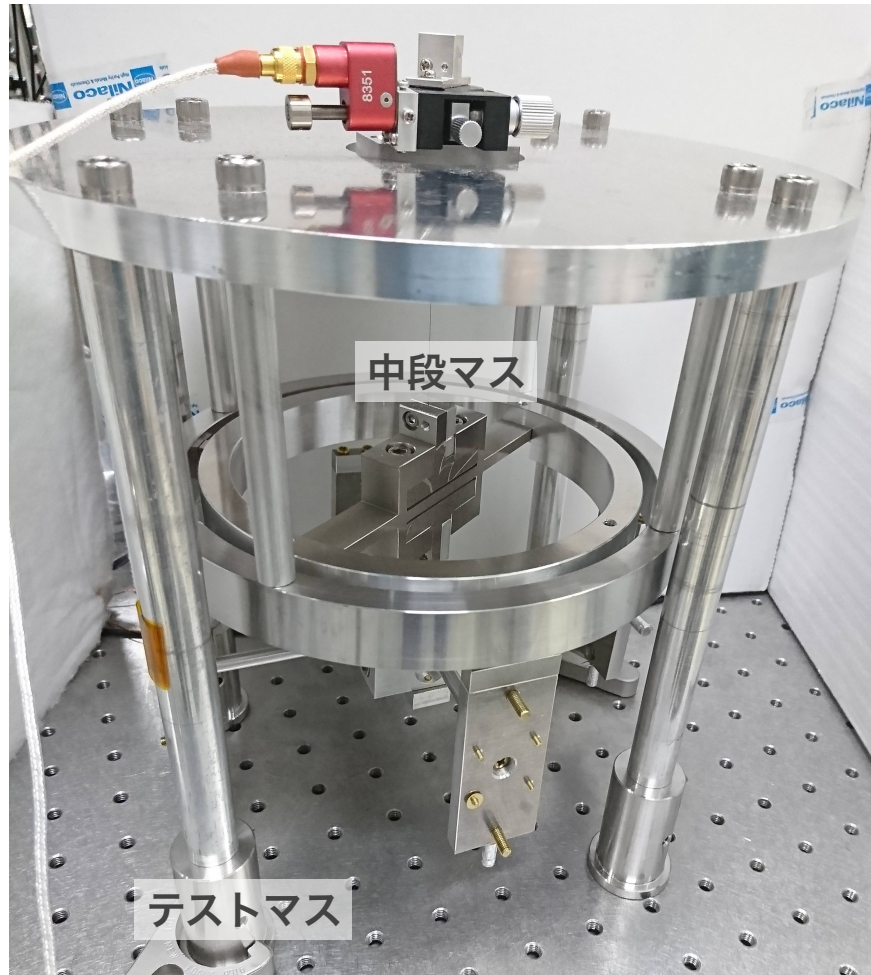
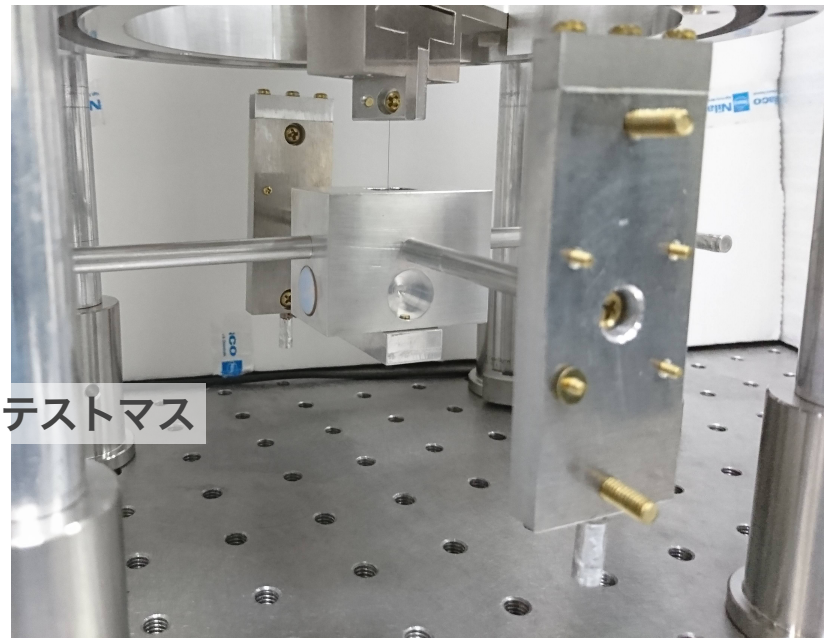
傾斜計の開発

- 2段振り子懸架系
 - ▶ マスの重心位置の調整による並進-傾きカップリングの低減
- 読み取り光学系
 - ▶ 光てこを用いた角度読み取り



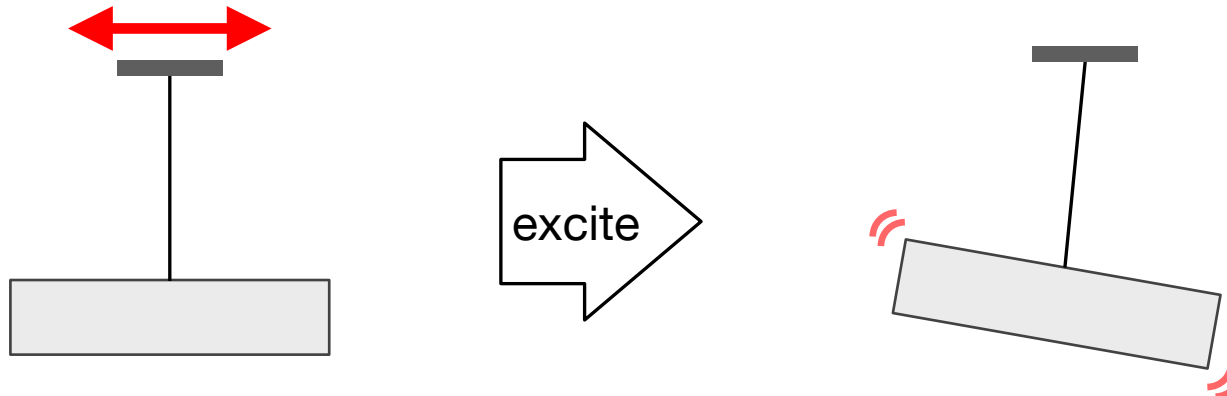
傾斜計の開発

- 2段振り子懸架系
 - ▶ マスの重心位置の調整による並進-傾きカップリングの低減
- 読み取り光学系
 - ▶ 光てこを用いた角度読み取り



地面振動からの寄与

- 並進地面振動が傾き変動を励起

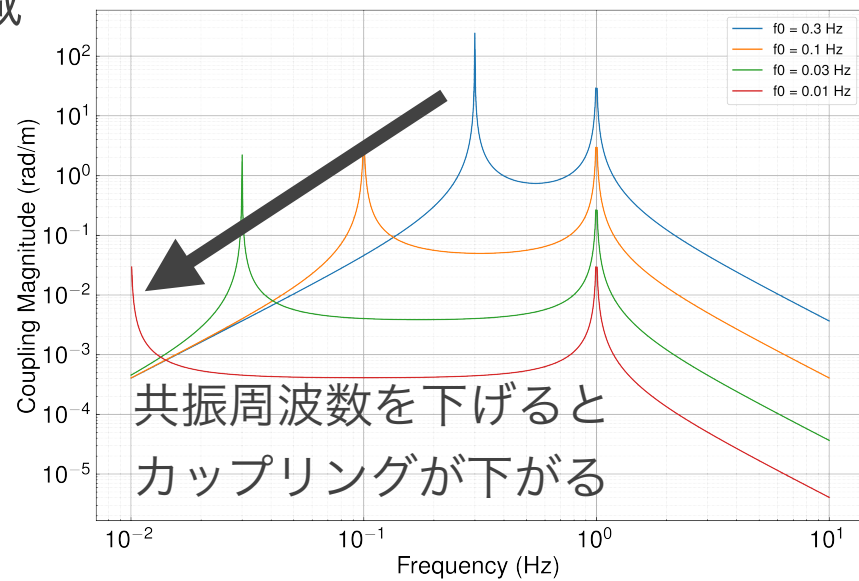


- マスの重心位置の調整により低減

$$C \simeq \frac{f_0^2}{g} \propto \Delta z$$

Δz : 重心と懸架点の距離

- 設計値: 0.03 Hz ($C \sim 4 \times 10^{-3}$)

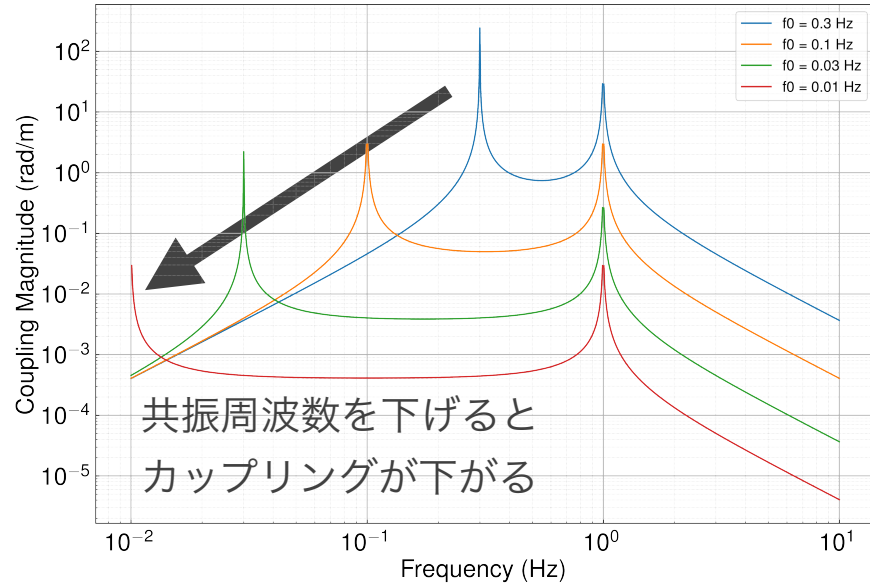
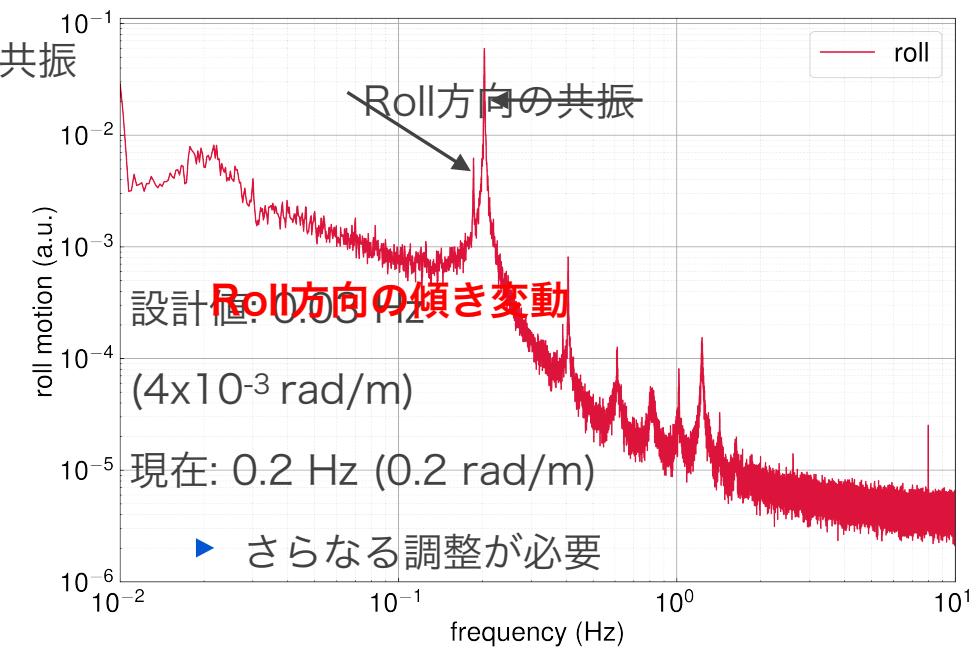


重心位置調整

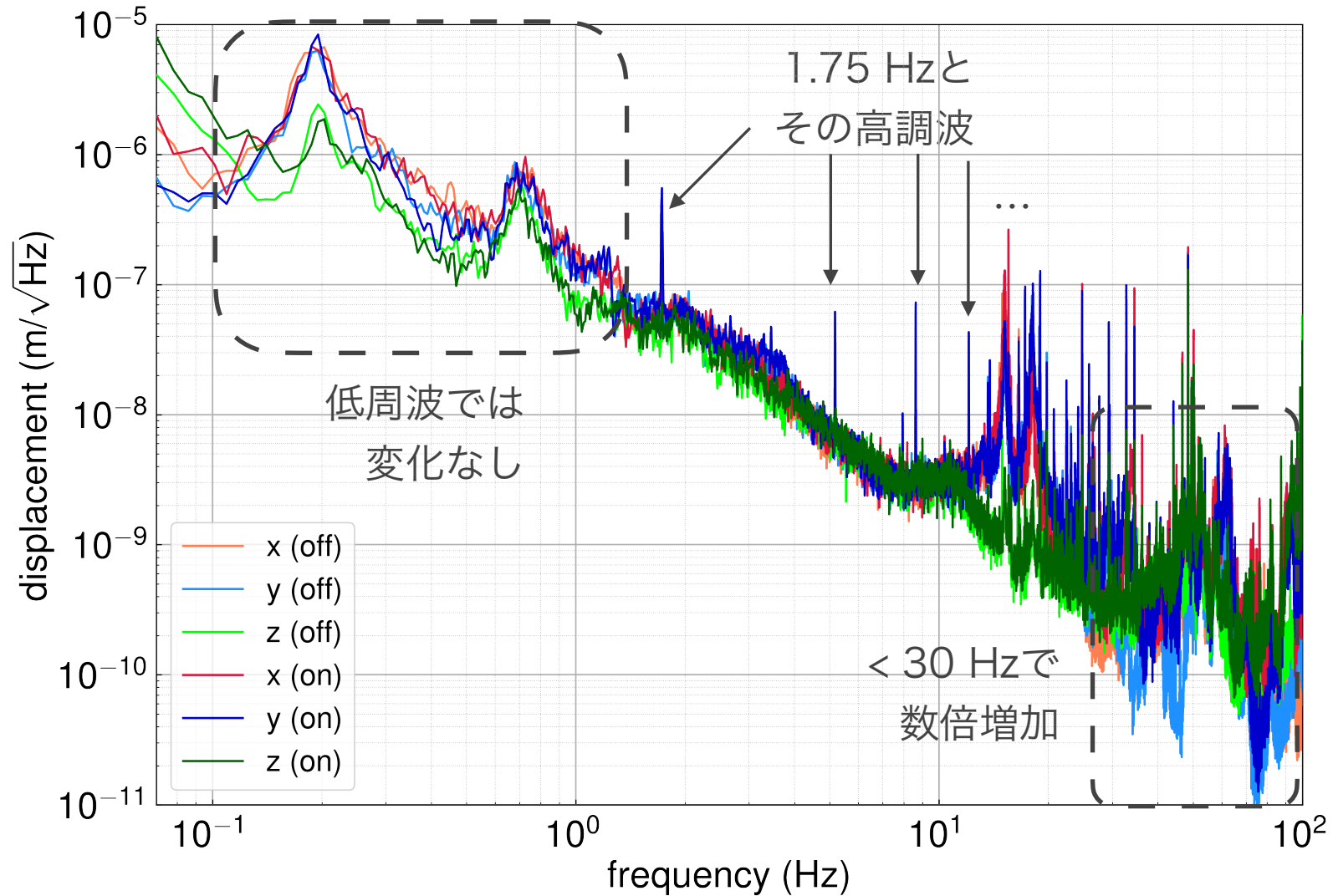
- 並進地面振動が傾き変動を励起
 - マスの重心位置の調整による
並進-傾きカップリングの低減

$$C \simeq \frac{f_0^2}{g} \propto \Delta z$$

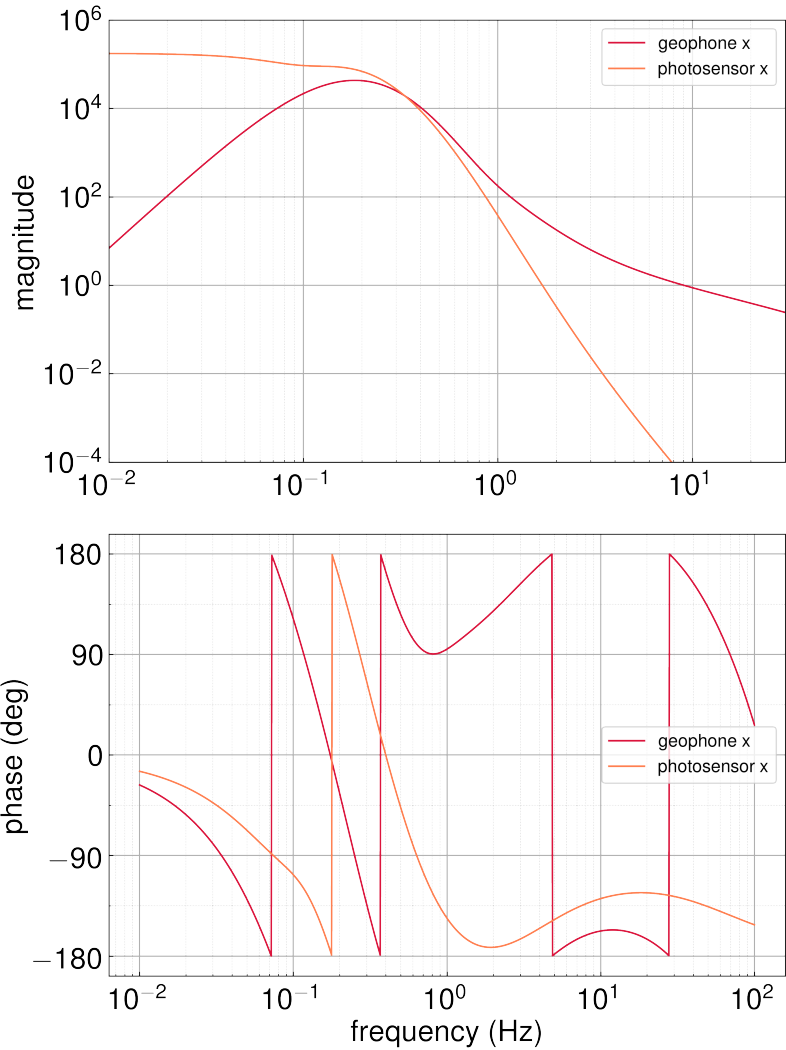
Δz : 重心と懸架点の距離



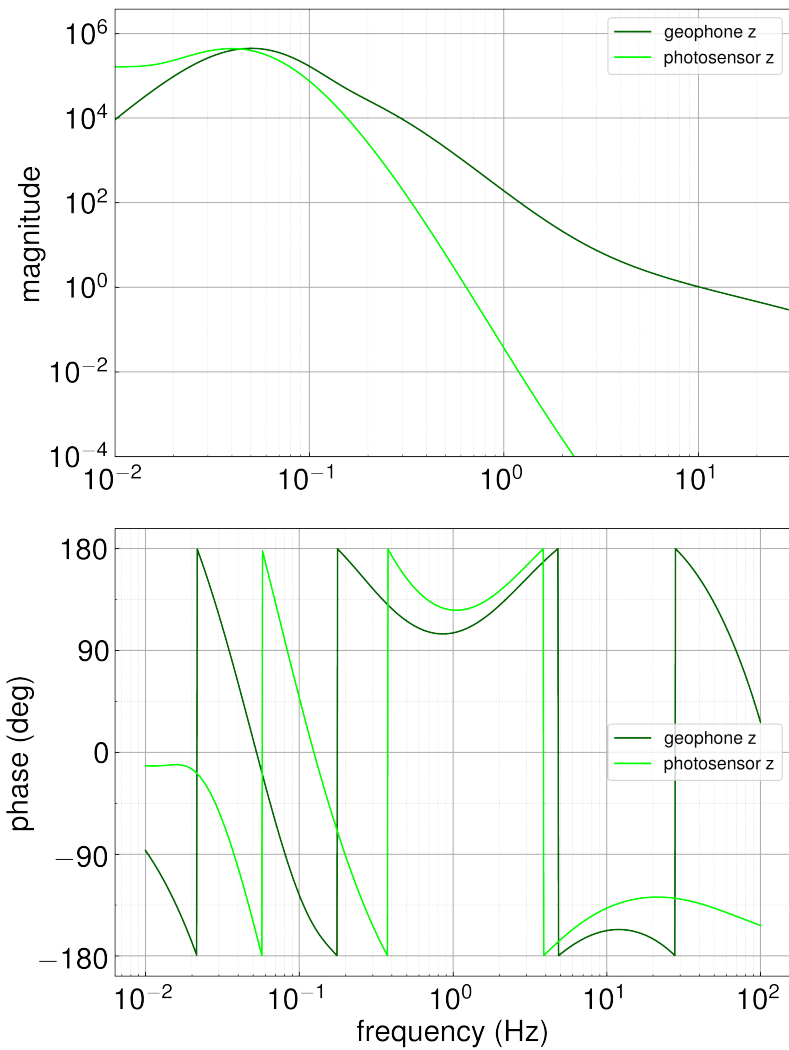
冷凍機による地面振動の導入



制御系



x軸のオープンループ伝達関数(yも同様)



z軸のオープンループ伝達関数

傾斜カップリングの低減

- ・ 水平方向と同時に傾斜方向にも揺らすことで打ち消す
 - ▶ 1/10 以下にまで低減
 - ▶ x軸は安定した制御に成功, y軸は未だ不安定
 - ▶ さらなる低減, もしくは傾斜計による傾き制御

エータから地震計への応答の振幅と位相(低減前後)

